

- §1 Hardwaregrundlagen
- §2 Transformationen und Projektionen
- §3 Repräsentation und Modellierung von Objekten
- §4 Rasterung
- **§5 Visibilität und Verdeckung**
  - **5.1 Visibilität**
  - 5.2 Verdeckung

§6 Rendering

§7 Abbildungsverfahren  
(Texturen, etc.)

§8 Freiformmodellierung

Anhang: Graphiksprachen und  
Graphikstandards

Anhang: Einführung in OpenGL

Weitere Themen: Netze, Fraktale,  
Animation, ...

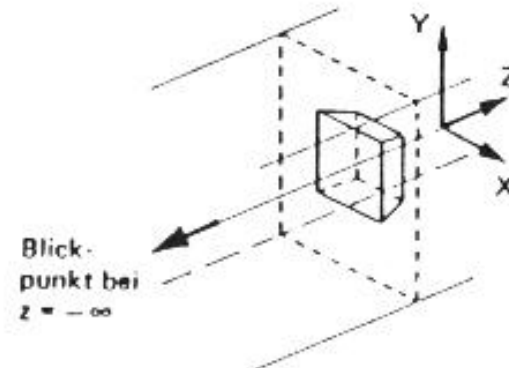
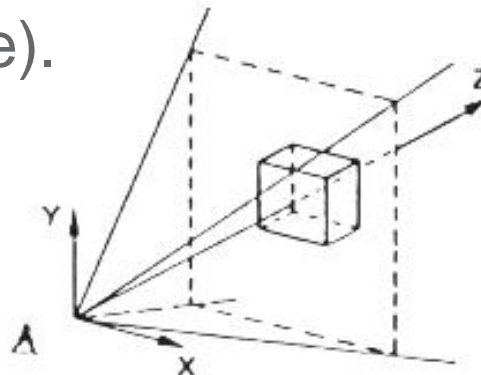
- Ziel ist (möglichst) exakte Bestimmung der von einem **gegebenen Blickpunkt** aus sichtbaren bzw. unsichtbaren Teile der darzustellenden Szene.
- Wünschenswert ist **hohe Interaktionsrate**, so dass Eingaben des Benutzers sich direkt auf die Darstellung auswirken.
- In den meisten Fällen ist **Echtzeitausgabe** der Szene nötig.
- Einteilung der Verfahren:
  - **Objektraumverfahren**  
prinzipiell geräteunabhängig,  
Rechengenauigkeit ist die Maschinengenauigkeit.
  - **Bildraumverfahren**  
geräteabhängig,  
Rechengenauigkeit ist die Auflösung des Ausgabegerätes.

## Visibilität

- Bestimmung der **sichtbaren Pixel**
  - Welches Pixel liegt **vor dem anderen**?
- **Entfernung verdeckter** Kanten und Flächen
  - Nicht zum Sparen, sondern für **korrekte** Darstellung
  - Wireframe-Darstellung:  
Nur Kantendarstellung: **Hidden Line Removal** (HLR)
  - Flächendarstellung:  
Solide Fläche: **Hidden Surface Removal** (HSR)
- **Transparenzen** müssen ggf. berücksichtigt werden

## Verdeckung

- Dreidimensionale Szene wird auf Bildebene projiziert: **unterschiedliche Objektteile** werden auf **dieselbe Stelle** abgebildet.
- Sichtbar sind diejenigen Objektpunkte, die dem Auge des Betrachters **am nächsten** gelegen sind.
- Nicht nur die  $(x, y)$ -Koordinate in der Bildebene wichtig, sondern auch die **Tiefenrelation der Szene** ( $z$ -Koordinate).



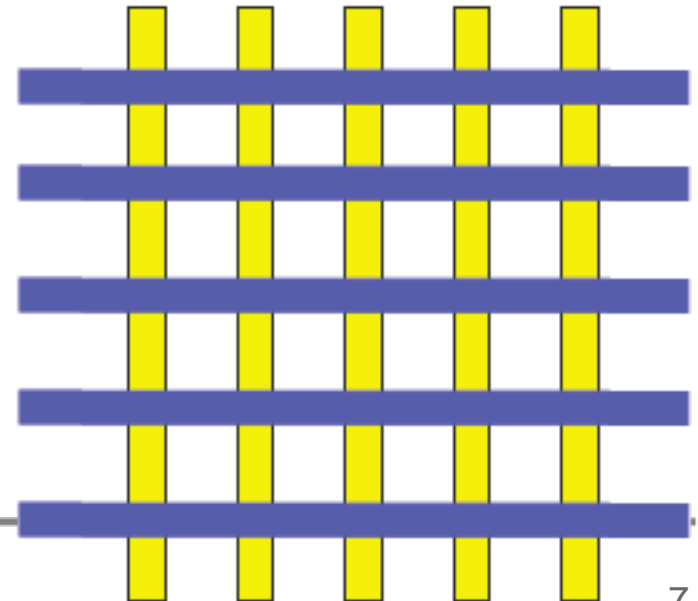
## Visibilität vs. Verdeckung

- Visibilität für **Korrektheit**
- Verdeckung für **Beschleunigung** (nicht sichtbare Anteile werden weggelassen - Culling)
  - nutzt Heuristiken
  - In der Regel keine exakte Lösung

## Kohärenzen

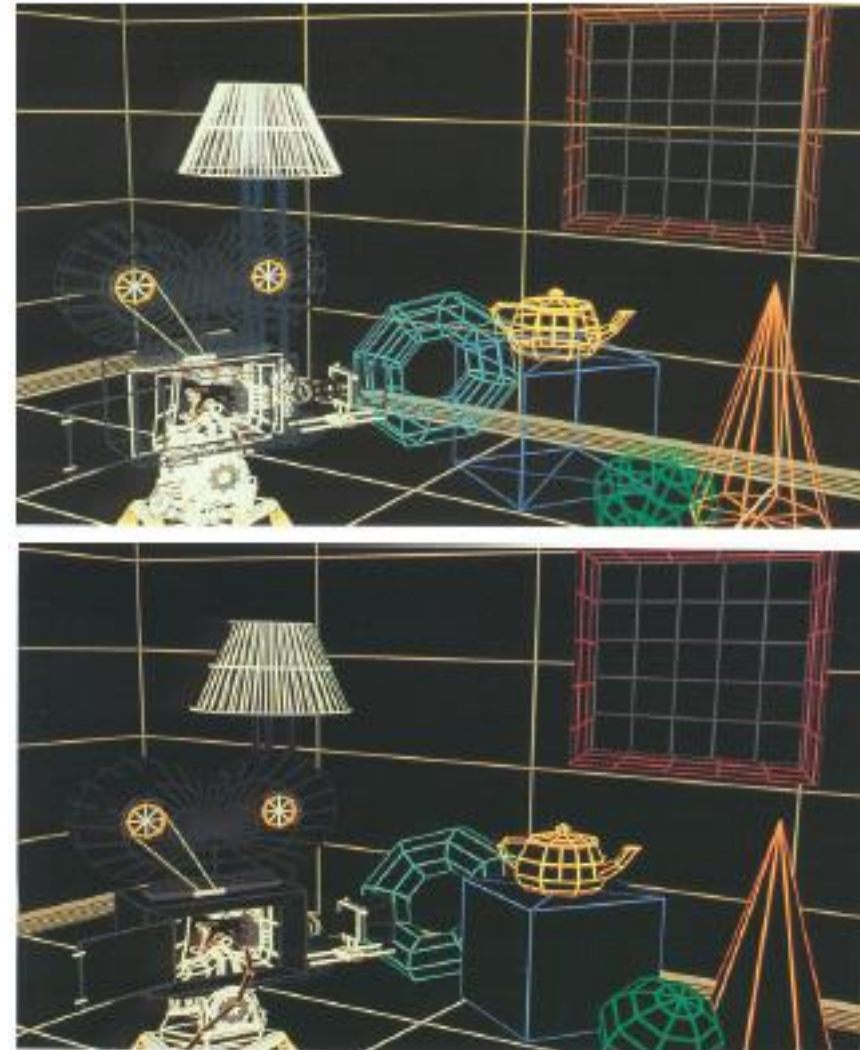
- Ausnutzung lokaler **Ähnlichkeiten**
- **Objekt**kohärenz: schneiden sich Objekte nicht, so müssen auch nicht ihre Flächen miteinander getestet werden.
- **Flächen**kohärenz: Eigenschaften benachbarter Punkte auf einer Fläche ändern sich oft nur unwesentlich.
- **Tiefen**kohärenz: Die Tiefe  $z(x,y)$  auf einer Fläche kann oft inkrementell berechnet werden
- **Zeit-/Frame**kohärenz: Oft ändern sich nur wenige Anteile eines Frames

- Polygone werden auf die **Bildebene projiziert**.
- Polygone werden **in Pixel zerlegt** und die Pixel im Framebuffer abgelegt.
- Letztes gerastertes Polygon besetzt **Pixelpositionen im Framebuffer**.
- Aber: welches Polygon **müsste gesehen** werden?
  - Das dem **Beobachter am nächsten** Gelegene!
- **Klare Aussage** nicht immer gegeben.
- Visibilität = **Sortierproblem**



## Wireframe-Darstellung

- Kanten der Flächen werden dargestellt.
- Eigentlich verdeckte Kanten **scheinen durch**.
- **Hidden-Line-Removal**: Entfernen verdeckter Kanten

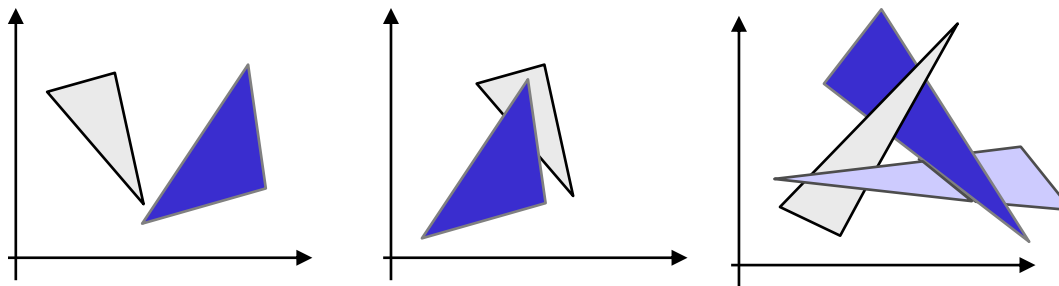
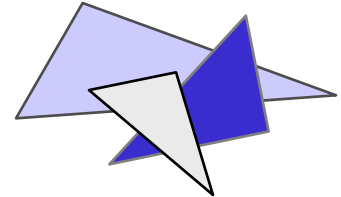


[Foley et al, 1992]



## Painter's Algorithmus

- Male Polygone von **hinten nach vorne**.
- Erfordert **Tiefensortierung!**
- Wenn Tiefenwerte (z-Wert) der Polygone sich überlappen, **müssen Polygone geschnitten** werden ( $n^2$  mögliche Teile).
- Beginne mit (Teil-)Polygon mit **größtem z-Wert**.



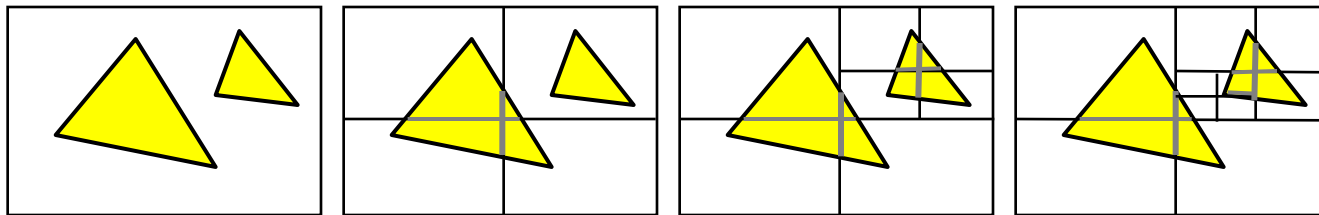
- Komplexität:  $O(n^2)$ ,  $n$  ist Anzahl der Dreiecke

## Bekannte Verfahren

- Erste Lösung des Hidden-Line-Problems: Roberts, 1963; Objektraumverfahren für konvexe Objekte
- Appels Algorithmus (1967):  
Berechnet sichtbare Kanten/Konturen (NPR)
- **Area Subdivision (divide-and conquer): Warnock, 1969**  
Ausnutzung von Flächenkohärenz durch Quadrees
- **Sample Spans: Watkins, 1970**  
Ausnutzung von Rasterzeilenkohärenz
- Depth List: Newell et al., 1972  
Prioritätslistenalgorithmus im Objektraum
- Weiler-Atherton-Algorithmus (1977):  
Sortiert Polygone näherungsweise in der Tiefe

## Divide and Conquer [Warnock 1969]

- **Komplexe Fälle** werden auf **einfache Fälle** zurückgeführt
  - **Nächste Fläche** überdeckt gesamten Rasterbereich
  - Es gibt **maximal eine** Fläche im Rasterbereich
- Ansonsten **rekursive Unterteilung** bis nur noch einfache Fälle



- Aufwand:  $O(np)$ ,  $p = \#\text{Pixel}$ ,  $n = \#\text{Polygone}$
- Ggf. muss Unterteilung bis **auf Pixelebene** durchgeführt werden.
  - Fast immer bei  $n > p$  (große Szenen)
  - Entspricht dann dem Z-Buffer, aber mit **Overhead**.

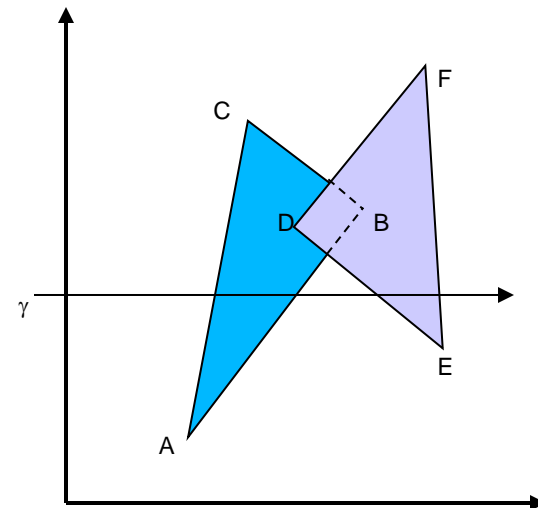
## Scanline/Sample Span [Watkins 1970]

- y-Scanline  $\gamma$  nach Kanten untersuchen
- Kanten nach Tiefenwerten vergleichen/sortierten
- Kanten-, Polygon-, **ActiveEdge-Tabellen** (AET)
- **Update** der AET für jede neue Scanline  $\gamma$

- Scanline  $\gamma$  in AET:

AC,	AB,	DE,	FE
$P_1$ in			
	$P_1$ out		
		$P_2$ in	
			$P_2$ out

$P_1, P_2$  Polygone



## Bekannte Verfahren

- erste Lösung des Hidden-Line-Problems: Roberts, 1963
- Appels Algorithmus (1967)
- **Area Subdivision (divide-and conquer): Warnock, 1969**
- **Sample Spans: Watkins, 1970**
- Depth List: Newell et al., 1972
- Weiler-Atherton-Algorithmus (1977)
  
- **Diese Algorithmen haben sich im Allgemeinen nicht durchgesetzt, aber:**

## Bekannte Verfahren (Frts)

### Z-Buffer-Algorithmus [Straßer, 1974, Catmull, 1974]

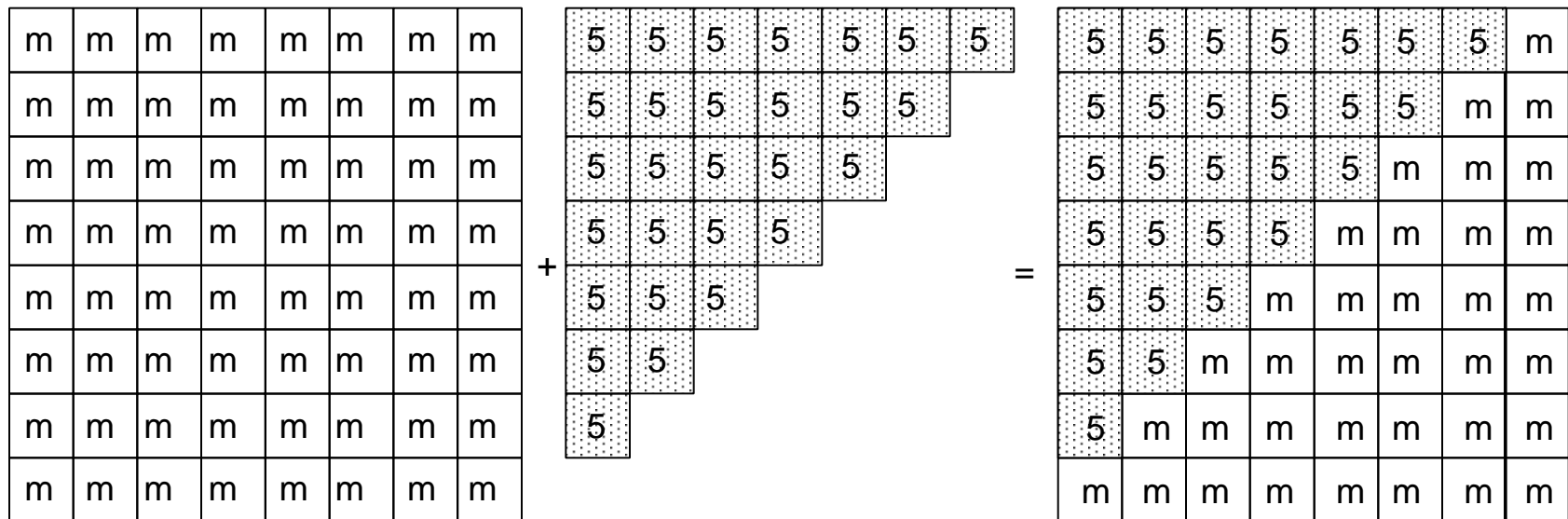
- Bestimmt Sichtbarkeit von Pixeln (**Bildraum**).
- Geeignet für die Bildausgabe auf Rastergeräten
- Einfache **Hardware**-Unterstützung
- Arbeitsweise
  - Sucht für jeden Pixel bei Rasterung nach Polygon mit **kleinstem** (am weitesten vorne liegendem) z-Wert.
  - **Zusätzlicher Speicher** (Z-Buffer/Depthbuffer):  
Speichere in jedem Pixel den bisher kleinsten aufgetretenen z-Wert.

## Z-Buffer-Algorithmus

- Initialisiere Framebuffer (Farbbuffer) mit **Hintergrundfarbe**.
- Initialisiere Z-Buffer mit **maximalem z-Wert**.
- **Scan-Conversion** aller Polygone in beliebiger Reihenfolge
  - Berechne z-Wert  $z(x,y)$  für jedes Pixel  $(x, y)$  im Polygon.
  - $z(x, y) < Z\text{-Buffer}(x, y)$ ,  
**dann** zeichne Polygonfarbe in Farbbuffer bei  $(x, y)$  ein und  $Z\text{-Buffer}(x, y) = z(x, y)$ .
- Am Ende enthält der Farbbuffer das gewünschte Bild, der z-Buffer dessen **Tiefenverteilung**.

## Z-Buffer-Algorithmus – Beispiel

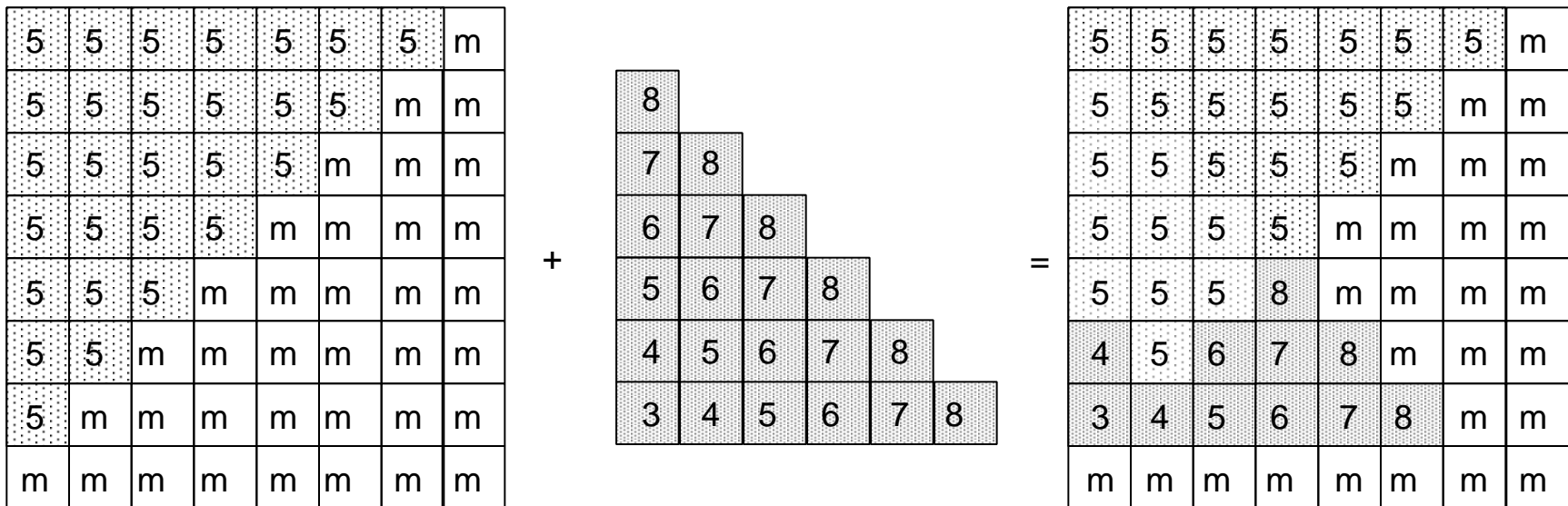
- z-Werte codiert durch Zahlen:  
kleinere Zahl => näher am Auge
- Initialisiere Z-Buffer mit max. z-Wert **m** (ganz hinten)
- Addiere ein Polygon mit **konstantem z-Wert 5**.





## Z-Buffer-Algorithmus – Beispiel

- Addiere ein Polygon, das das 1. Polygon schneidet
- Artefakte bei Pixeln mit gleichem z-Wert beider Polygone



## Z-Buffer-Algorithmus – Berechnung von z bei Polygonen

Zur Berechnung von  $z(x,y)$  für ebene Polygone (z.B. Dreiecke) entlang einer Scan-Line:

$$\text{Ebene } Ax+By+Cz+D=0$$

$$\text{Also: } z = (-D - Ax - By) / C$$

$$z(x+dx,y) = (-D-A(x+dx) - By)/C = z(x,y) - dx * A/C$$

Nur eine Subtraktion ist notwendig, da  $A/C$  konstant ist und  $dx=1$ .

## Z-Buffer-Algorithmus – Vorteile

- + sehr **einfache Implementierung** des Algorithmus
- + **unabhängig** von der Repräsentation der Objekte;  
es muss nur möglich sein, zu jedem Punkt der Oberfläche einen z-Wert zu bestimmen
- + keine **Komplexität**sbeschränkung der Bildszene
- + keine besondere **Reihenfolge** oder Sortierung notwendig

## Z-Buffer-Algorithmus – Vorteile

- **Auflösung des Z-Buffers** bestimmt Diskretisierung der Bildtiefe: z.B. 20 Bit genau  $2^{20}$  Tiefenwerte unterscheidbar
  - problematisch sind **weit entfernte** Objekte mit kleinen Details (perspektivische Transformation)

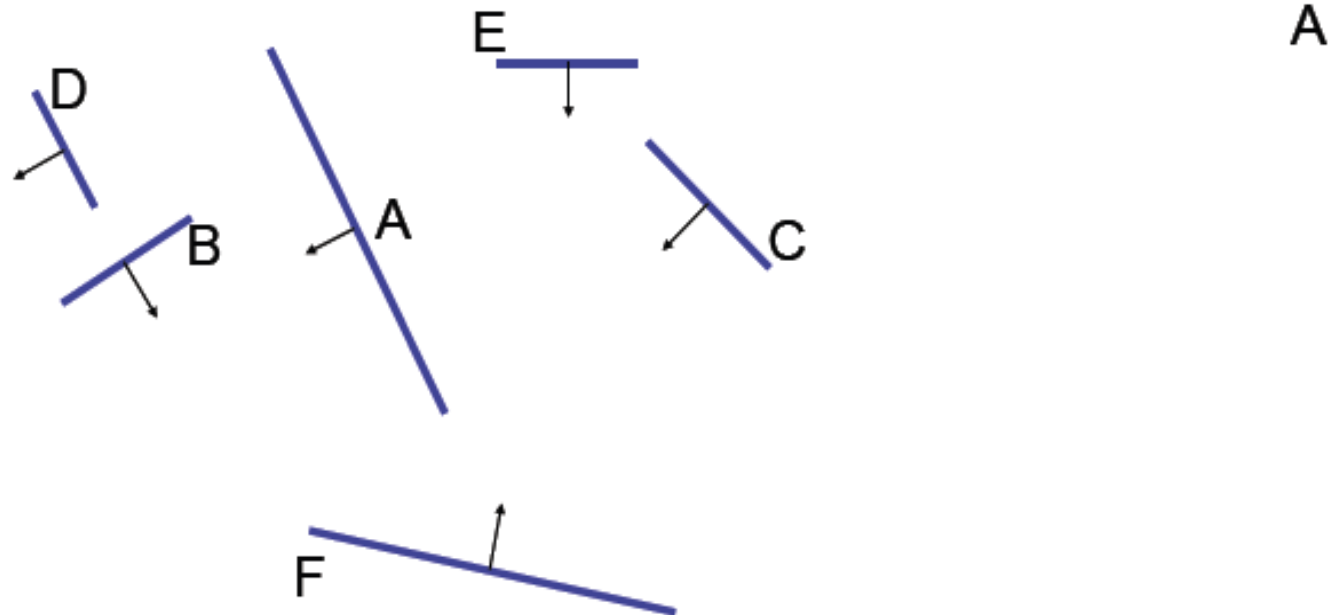
## Z-Buffer-Algorithmus – Vorteile

- **Auflösung des Z-Buffers** bestimmt Diskretisierung der Bildtiefe: z.B. 20 Bit genau  $2^{20}$  Tiefenwerte unterscheidbar
- **Transparenz** (Alpha-Buffering) und **Antialiasing** nur durch aufwändige Modifikationen möglich
- (es wird ein großer Speicher benötigt – Abhilfe durch Zerlegung in Teilbilder möglich)

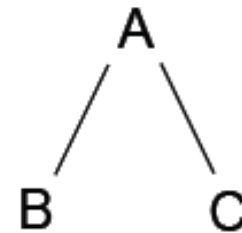
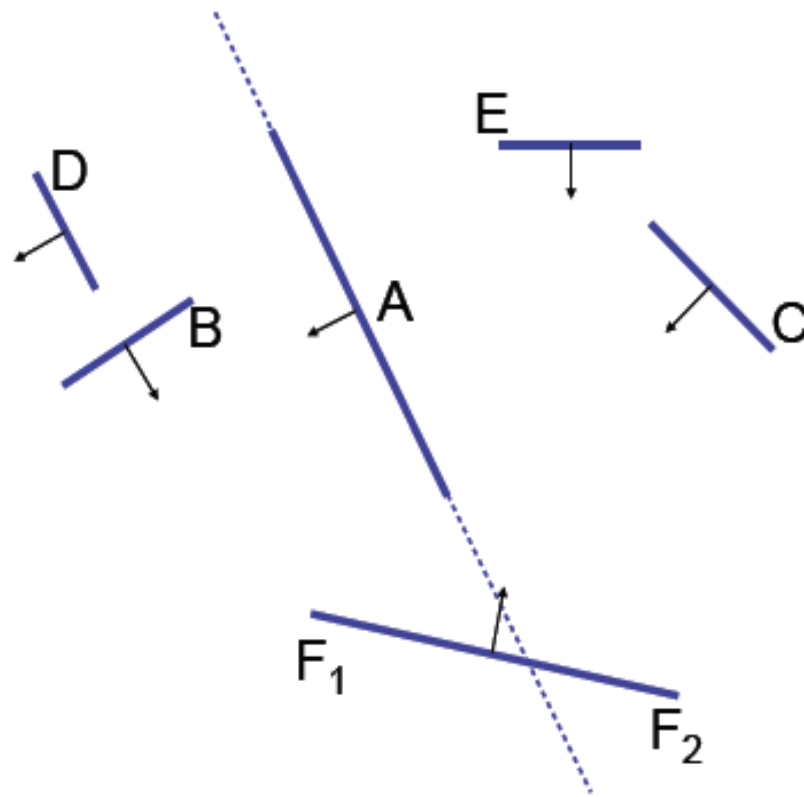
## Aufteilung mit dem BSP-Tree

- Jeder Knoten entspricht **Unterteilungsebene**.
- Jeder Knoten teilt Raum in **zwei Halbräume**.
- **Ordnet Raum** bezüglich der Geraden.
- Teilt **Visibilität** an den Unterteilungsebenen auf.

## Binary-Space-Partitioning

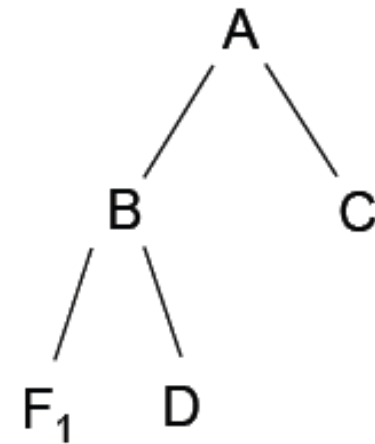
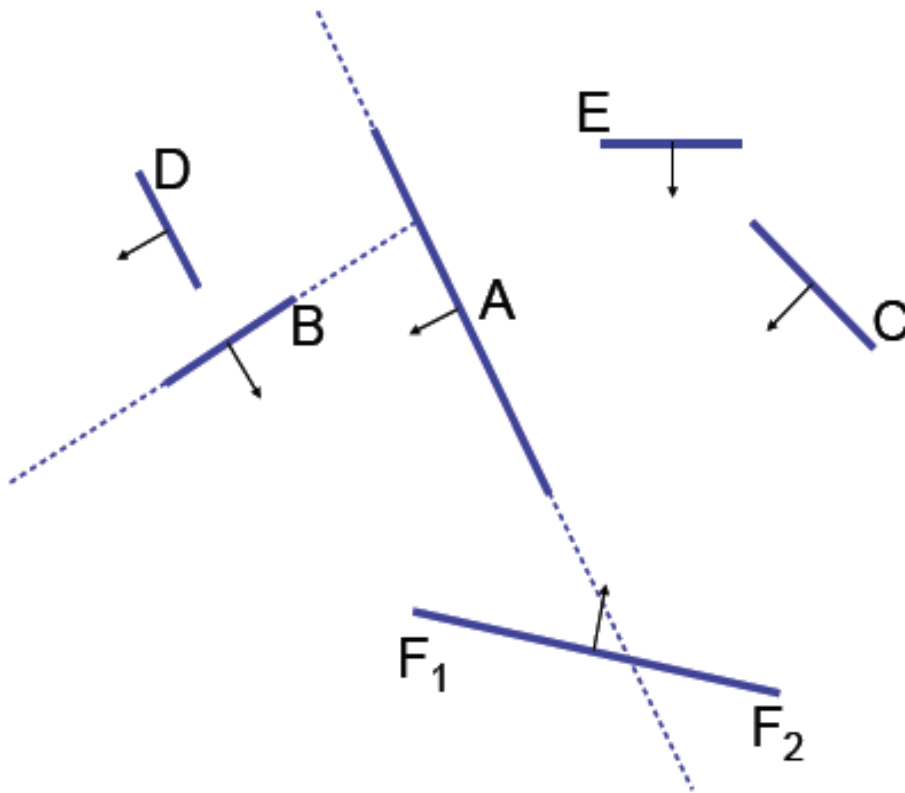


## Binary-Space-Partitioning

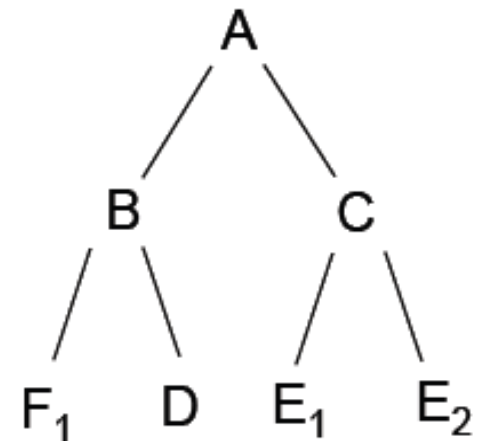
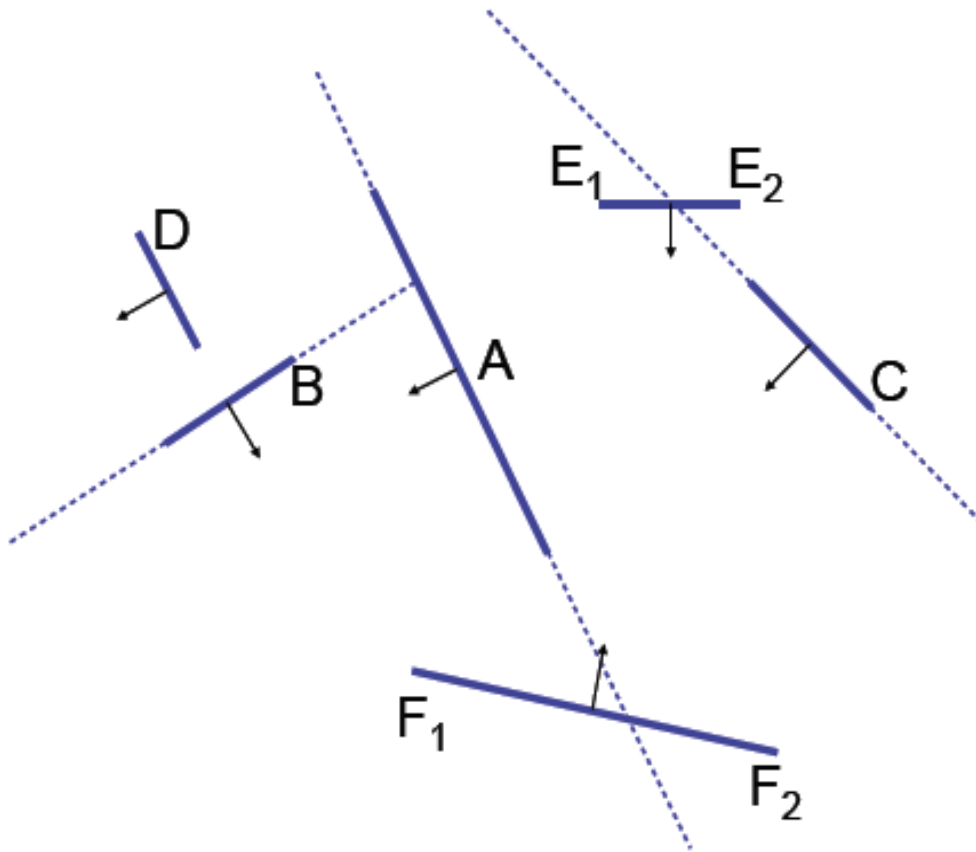




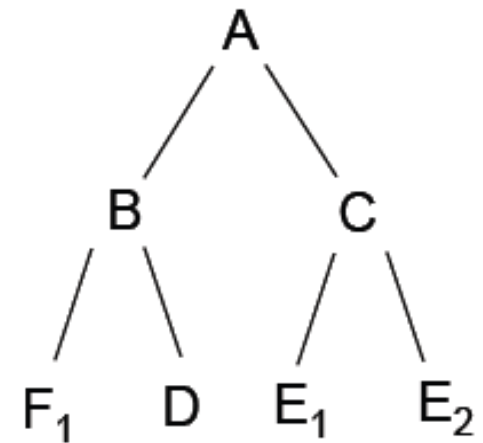
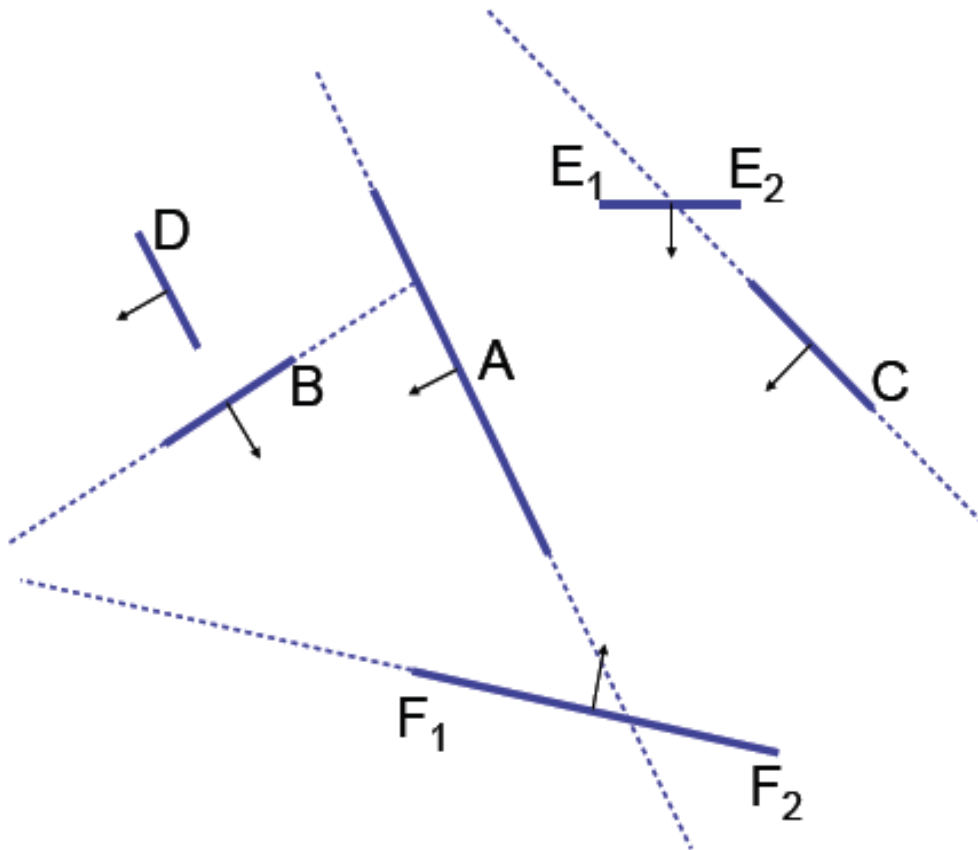
## Binary-Space-Partitioning



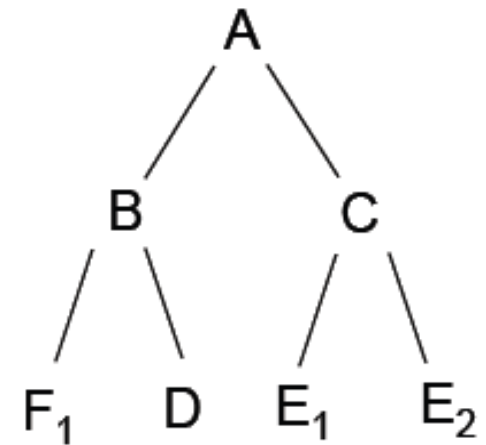
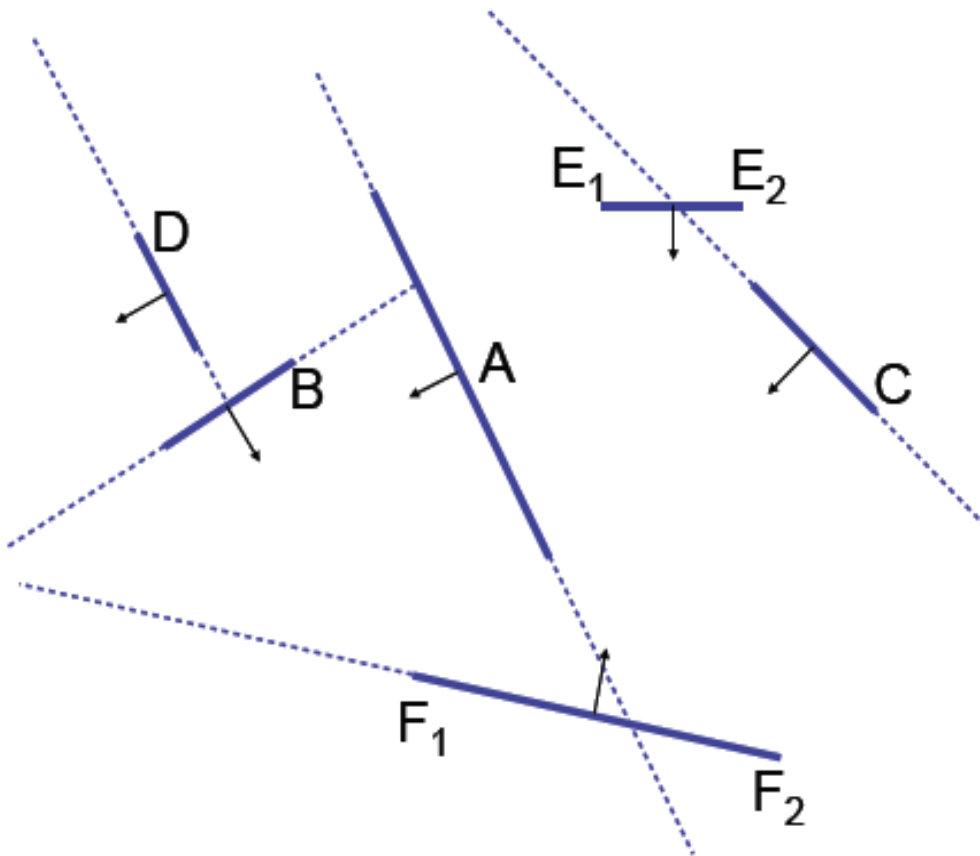
## Binary-Space-Partitioning



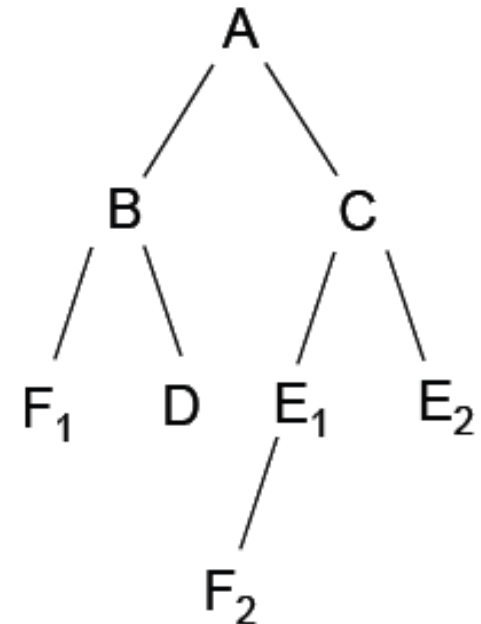
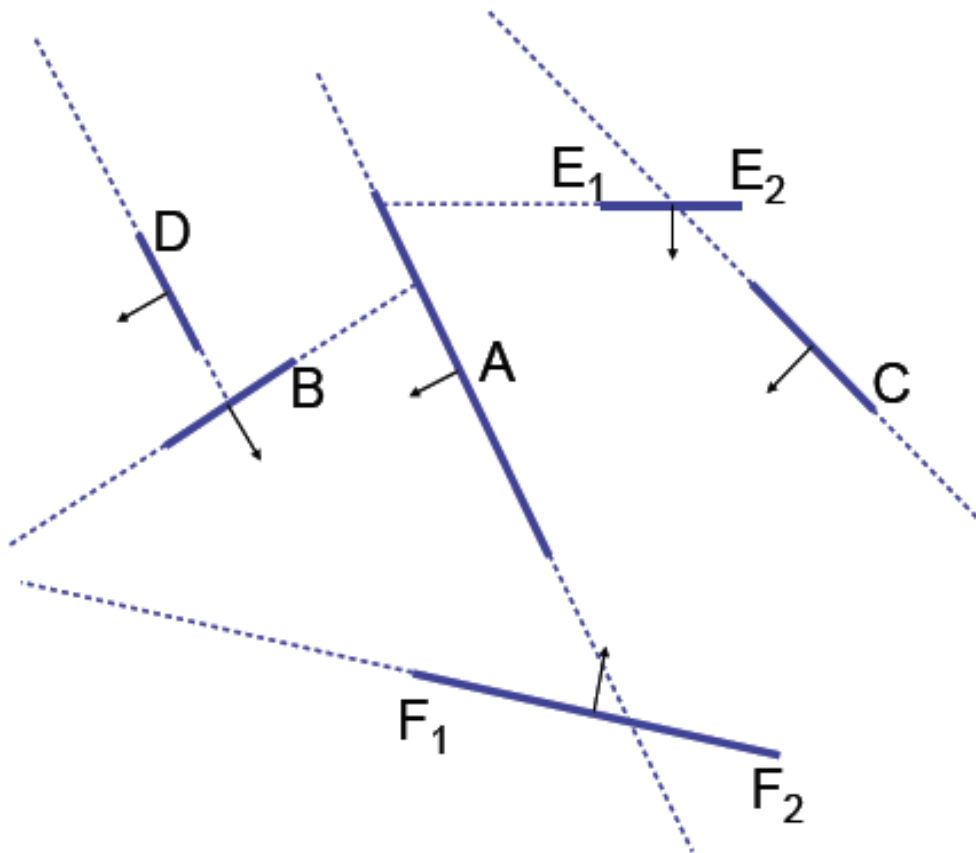
## Binary-Space-Partitioning



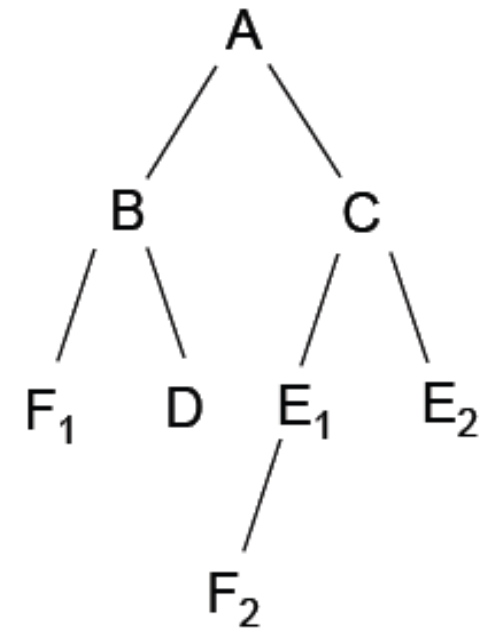
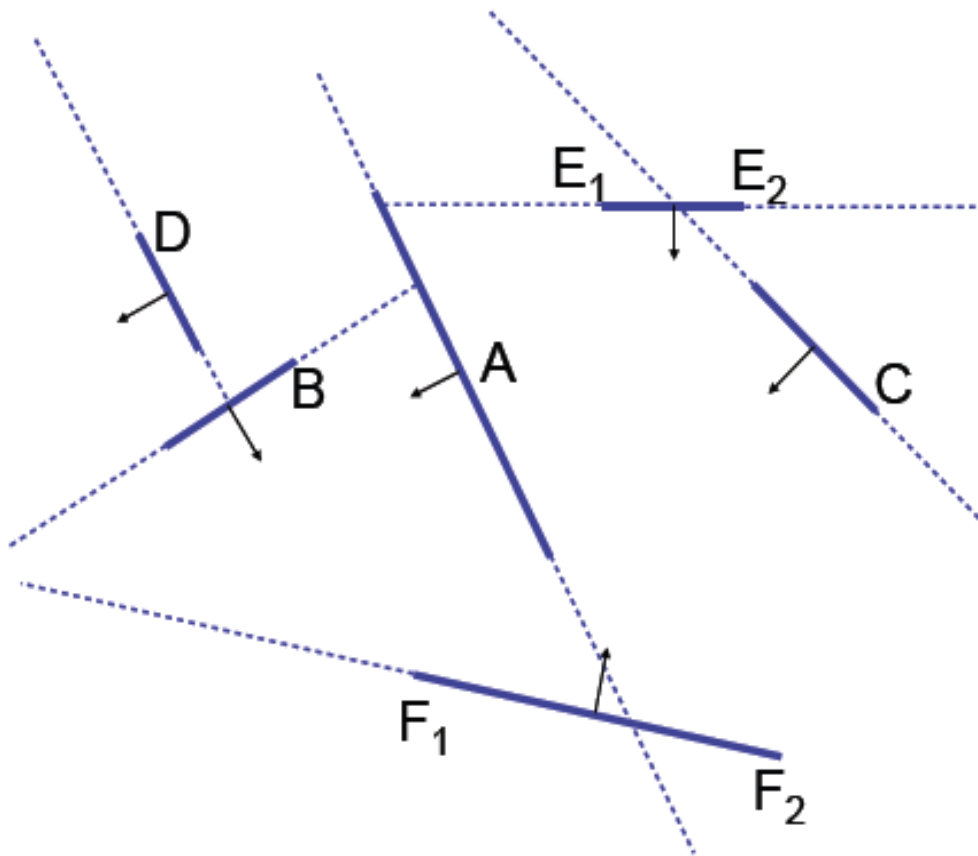
## Binary-Space-Partitioning



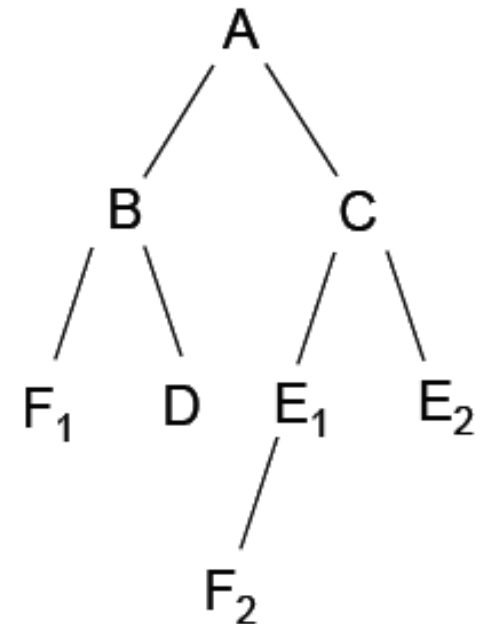
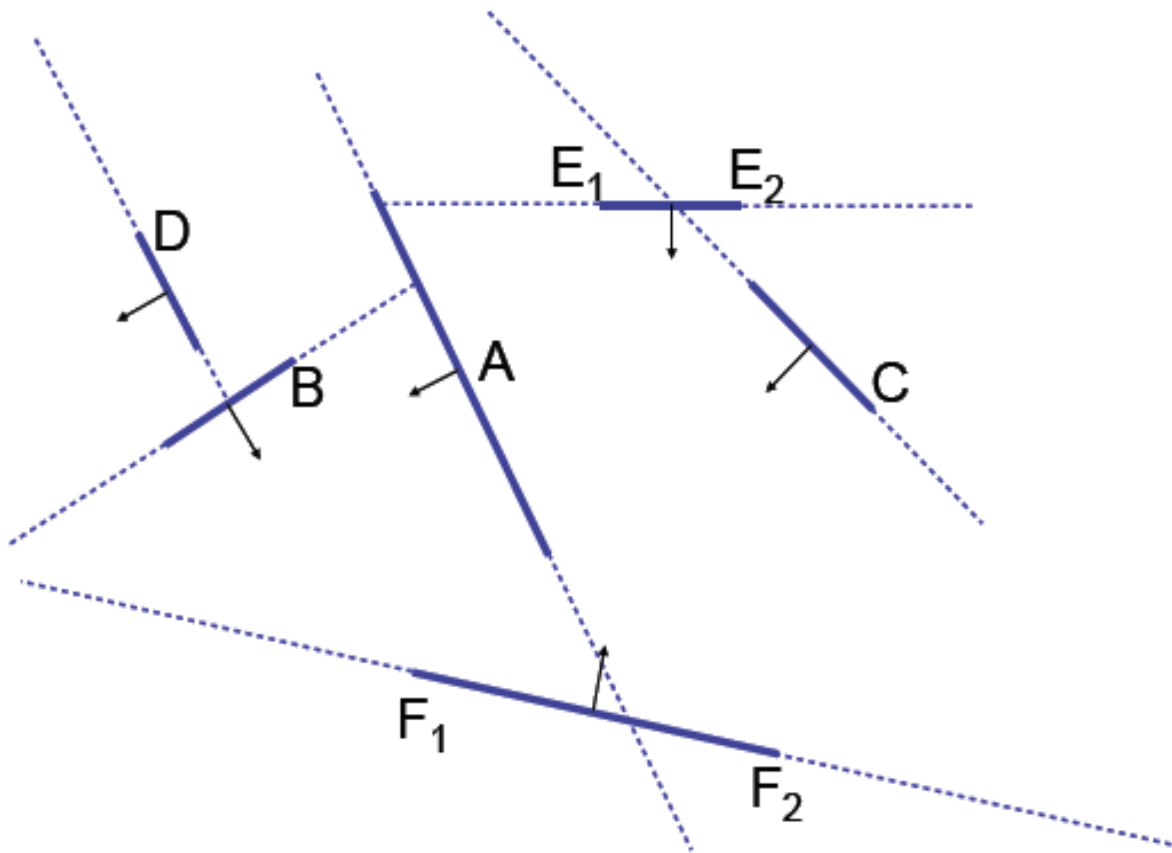
## Binary-Space-Partitioning



## Binary-Space-Partitioning

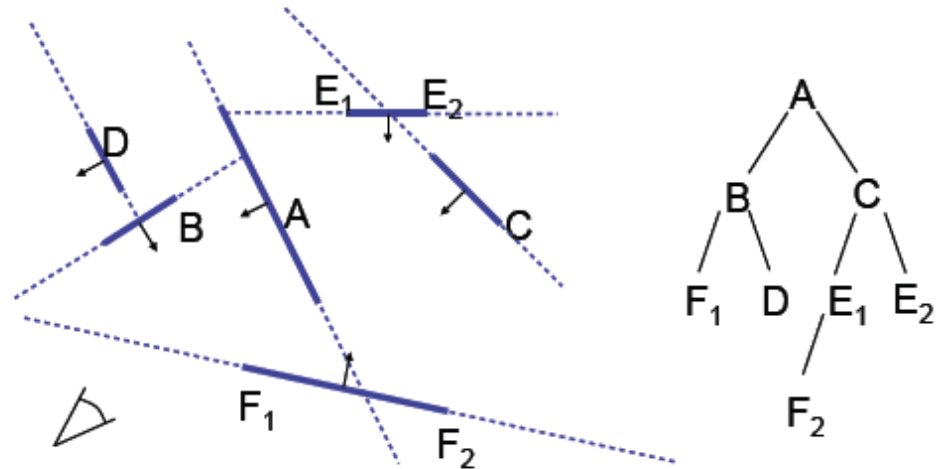


## Binary-Space-Partitioning



## Binary-Space-Partitioning

- **Tiefensortierte** Liste von Polygonen
- Identifiziere Halbraum  $H_b$  in dem der **Augpunkt** liegt
- Traversierungs**reihenfolge**
  - $H_{1-b}$
  - Knoten (Polygone)
  - $H_b$
- $E_2, C, E_1, F_2, A, D, B, F_1$





## Painter's Algorithmus mit BSP

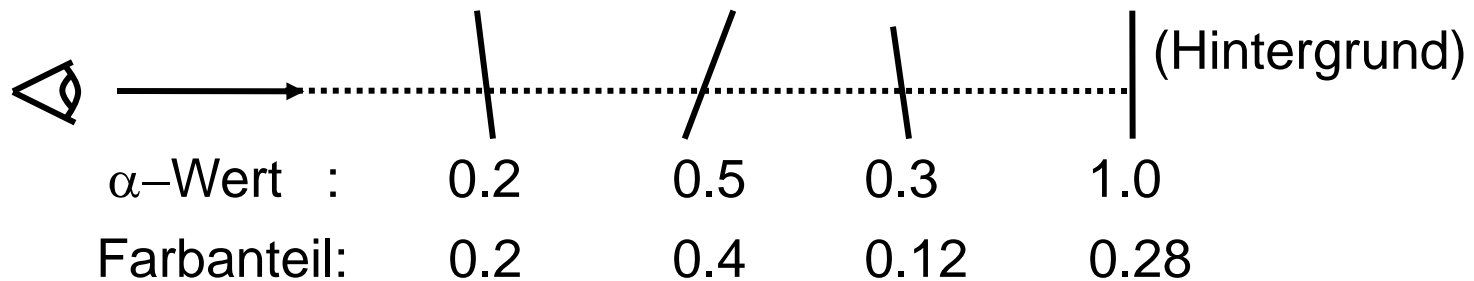
- Objekt im Halbraum **gegenüber des Augpunkts** können Objekte des anderen Halbraums nicht verdecken, können also **gezeichnet werden**.
- BSP ist tiefensortiert: **Blätter** zeichnen
- Traversierungsreihenfolge (Links/Rechts) durch **Position des Augpunkts** gegeben
- Kosten assoziiert mit **Größe/Tiefe** des BSP-Baums

## Painter's Algorithmus mit BSP

```
painters(T, PAuge): T BSP-Baum, PAuge = Augpunkt
  v = root(T);
  if blatt(v) then zeichne Objektfragmente in S(v)
  else if PAuge ∈ Hv+ then // Hv+ Linker Halbraum von v
    painters(T-(v), PAuge);
    zeichne Objektfragmente in S(v)
    painters(T+(v), PAuge);
  else if PAuge ∈ Hv- then // Hv- Rechter Halbraum von v
    painters(T+(v), PAuge);
    zeichne Objektfragmente in S(v)
    painters(T-(v), PAuge);
  else
    painters(T+(v), PAuge);
    painters(T-(v), PAuge);
```

## $\alpha$ -Buffer-Algorithmus

- Transparente Flächen besitzen neben den Farbattributen noch einen lokalen Wert für die **Undurchsichtigkeit** (Opazität, Opacity)  
 $\alpha \in [0,1]$  (0 = transparent, 1 = undurchsichtig)
- **Pixelfarbe**: Polygonfarbe  $\cdot \alpha$  und Hintergrundfarbe  $\cdot (1 - \alpha)$



## $\alpha$ -Buffer-Algorithmus

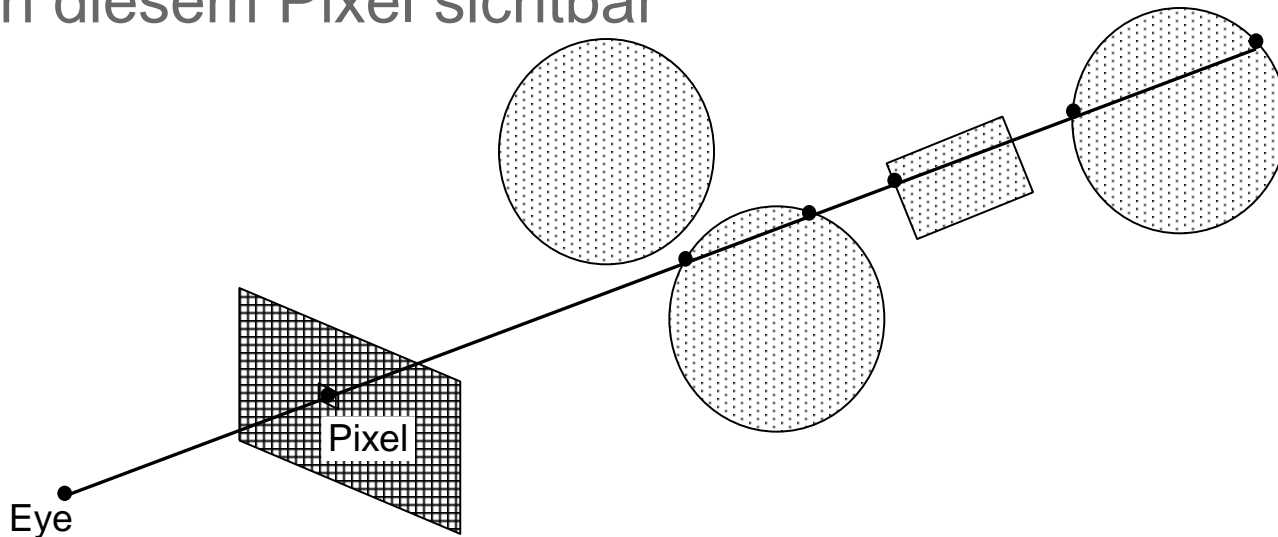
- Transparente Flächen besitzen neben den Farbattributen noch einen lokalen Wert für die **Undurchsichtigkeit** (Opazität, Opacity)  
 $\alpha \in [0,1]$  (0 = transparent, 1 = undurchsichtig)
- **Pixelfarbe**: Polygonfarbe  $\cdot \alpha$  und Hintergrundfarbe  $\cdot (1 - \alpha)$
- $\alpha$  -Buffering funktioniert analog wie z-Buffering, aber:
  - Szene muss von **hinten nach vorne** aufgebaut werden
  - **Tiefensortierung** der Polygone ist notwendig.

## Strahlverfolgungs-Algorithmus (RayTracing / RayCasting)

- RayCasting
  - Löst die **Sichtbarkeit** (Strahlperspektive)
  - **Sendet** (to cast) **Strahlen** (ray) durch Datensatz
  - **Akkumuliert** Beiträge entlang des Strahls
- RayTracing
  - Ray Casting + Weiterverfolgung **reflektierter** bzw. **gebrochener** Strahlen
  - **globales** Beleuchtungsmodell
- **Bildraum**algorithmen

## RayTracing

- **Verfolge** (to trace) Strahlen vom Augpunkt durch **alle Pixel** der Bildebene
- Berechne **Schnittpunkte** mit allen Objekten der Szene
- RayCasting: Objekt mit **nächst gelegenem** Schnittpunkt ist in diesem Pixel sichtbar



## RayTracing

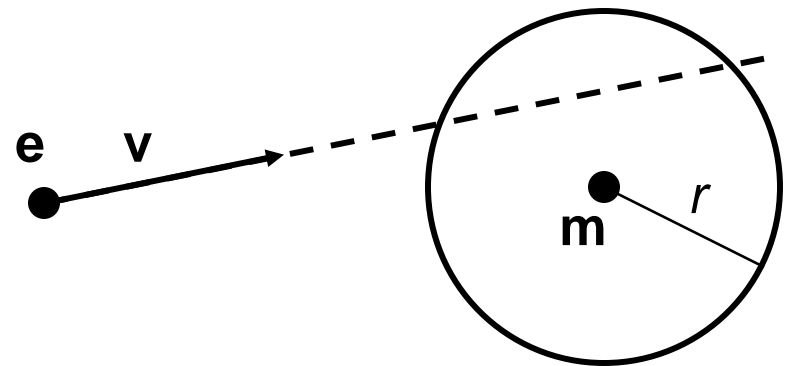
- Schnittpunktberechnung mit dem Strahl

$$r(t) = e + t v$$

e    Augpunkt

v    Sichtrichtung (Pixel - e)

t    Strahlparameter



- Beispiel 1: Schnitt mit einer impliziten Kugel

$$\| x - m \|^2 - r^2 = 0$$

Einsetzen des Strahls  $r(t)$  für  $x$  liefert:

$$\| e + t v - m \|^2 - r^2 = 0$$

$$(e + t v - m) \cdot (e + t v - m) - r^2 = 0$$

$$((t v) + (e - m)) \cdot ((t v) + (e - m)) - r^2 = 0$$

$$t^2 v \cdot v + 2 t v \cdot (e - m) + (e - m) \cdot (e - m) - r^2 = 0$$

- Lösen der quadratische Gleichung nach  $t$  liefert (max. zwei) **Parameter der Schnittpunkte**

$$s_{1,2} = r(t_{1,2}) = e + t_{1,2} \cdot v$$

- Schnittpunkt mit **kleinstem  $t > 0$**  liegt Augpunkt am nächsten.



## Beispiel 2: Schnitt mit einer Ebene

$p$  Punkt der Ebene

$n$  Normalenvektor

- Einsetzen des Strahls in die Normalenform der Ebene liefert:

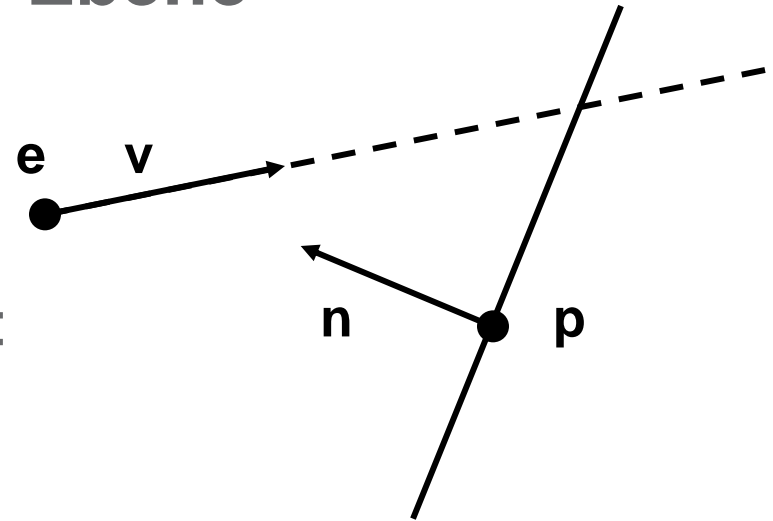
$$(x - p) \cdot n = 0$$

$$(e + t v - p) \cdot n = 0$$

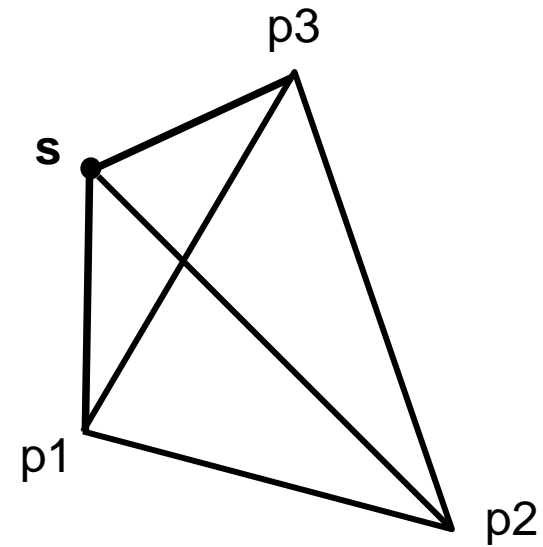
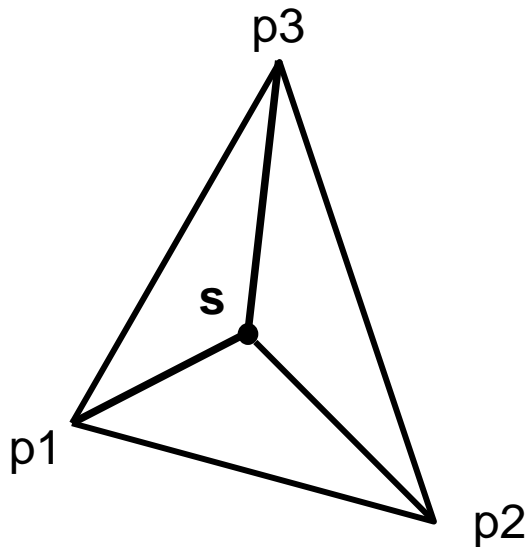
$$t v \cdot n + (e - p) \cdot n = 0$$

$$t = (p - e) \cdot n / v \cdot n$$

- Schnittpunkt:  $s = r(t) = e + t \cdot v$



- Beim Schneiden von Polygonen (Dreiecken) ist noch die Gültigkeit des Schnittpunktes zu verifizieren
  - Bestimme **Summe der Flächeninhalte** der Teildreiecke.
  - Ist diese **Summe größer** als der Flächeninhalt des ursprünglichen Dreiecks, so liegt der Punkt **außerhalb**.



## RayTracing - Nachteile

- Für **jeden Strahl** muss **jedes Objekt** der Szene daraufhin getestet werden, ob der Strahl das **Objekt schneidet**.
- Bei einer Auflösung  $1024 \times 1024$  mit 100 Objekten in der Szene müssen **100 Millionen Schnittpunkt-berechnungen** durchgeführt werden!
- Bis zu **95% der Rechenzeit** werden für Schnittpunkt-berechnungen bei typischen Szenen verbraucht.

## RayTracing: Beschleunigungsansätze

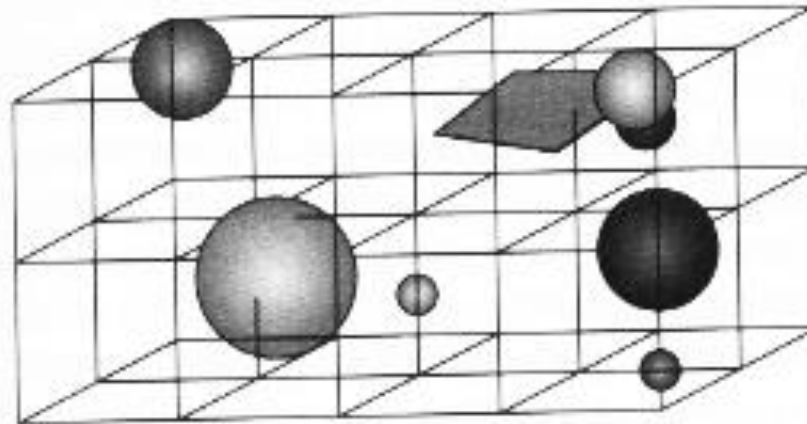
- Transformation der Strahlen **auf die z-Achse**
  - Werden die Objekte mit der gleichen Transformation verschoben, so tritt ein Schnittpunkt immer bei  $x=y=0$  auf.
- Bounding-Box/Spheres
  - Komplexe Objekte werden mit **einfacher zu testenden** Hüllvolumen (zB. Bounding-Boxes/Spheres) umschlossen.
  - Liegt **kein Schnittpunkt mit Hüllvolumen** vor, so liegt auch kein Schnittpunkt mit darin enthaltenen Objekten vor.
- Vermeidung von **unnötigen** Schnittpunktberechnungen
  - Hierarchien
  - Raumteilung

## RayTracing: Hierarchien

- Baumartige Strukturen von Hüllvolumen
  - Blätter: **Objekte** der Szene (Geometrie)
  - Innere Knoten: **Hüllvolumen** um Objekte der Unterbäume
- Schneidet ein Strahl das **Hüllvolumen eines inneren** Knotens nicht, so entfällt ein Test der untergeordneten Teilbäume.
- **Problem:** Generierung **guter Hierarchien** ist schwierig
  - Geometrisch: Nach **Szenenausdehnung** unterteilen
  - Dichte: Nach **Polygonschwerpunkten** sortieren und unterteilen

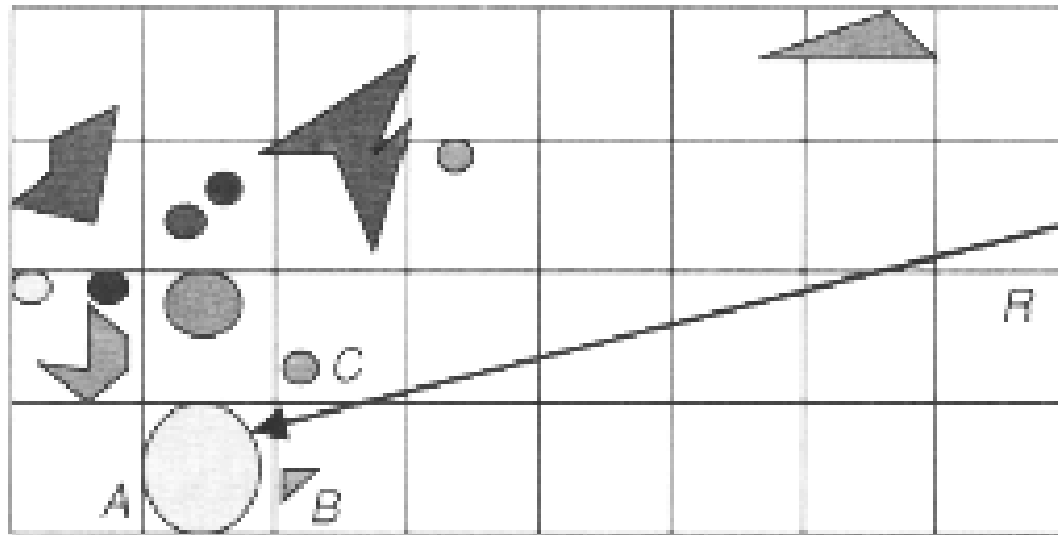
## RayTracing: Raumteilung

- **Top-down**-Ansatz
- Zuerst wird **Hüllvolumen der Szene** berechnet.
- Anschließend wird diese in **gleich große Teile** zerlegt.
- Jede Unterteilung enthält eine **Liste mit allen Objekten**, die in der Partition **komplett** oder auch nur **teilweise** enthalten sind.



## RayTracing: Raumteilung

- Nur wenn ein Strahl eine **Partition schneidet**, müssen Schnittpunktberechnungen mit den **assozierten Objekten** durchgeführt werden.
- **Durchlaufen der Partitionen** nach Richtung des Strahls



- Große Szenen: #Sichtbarer Primitive  $\ll$  #Primitive
- Wesentliche Zielsetzung: **Zeitersparnis**
- Test muss **erheblich „billiger“** sein als normales Rendern und Visibility-Testen.
  - Pipeline **Flush** (Unterbrechung)
  - Test **+ Rendern** (falls sichtbar)
  - Sehr **häufige Testung** pro Frame
- Also muss Test **einfach** sein.
  - **Komplexen Test** auf wenige Einzelfälle beschränken.



### Zwei verwandte Probleme:

- Was ist **Sichtbarkeit**?  
Ist ein Objekt sichtbar von einem bestimmten Blickpunkt?
- Was ist **Verdeckung**?  
Ist ein Objekt verdeckt (nicht sichtbar) von einem bestimmten Blickpunkt?

**Nur aufwendig lösbar**

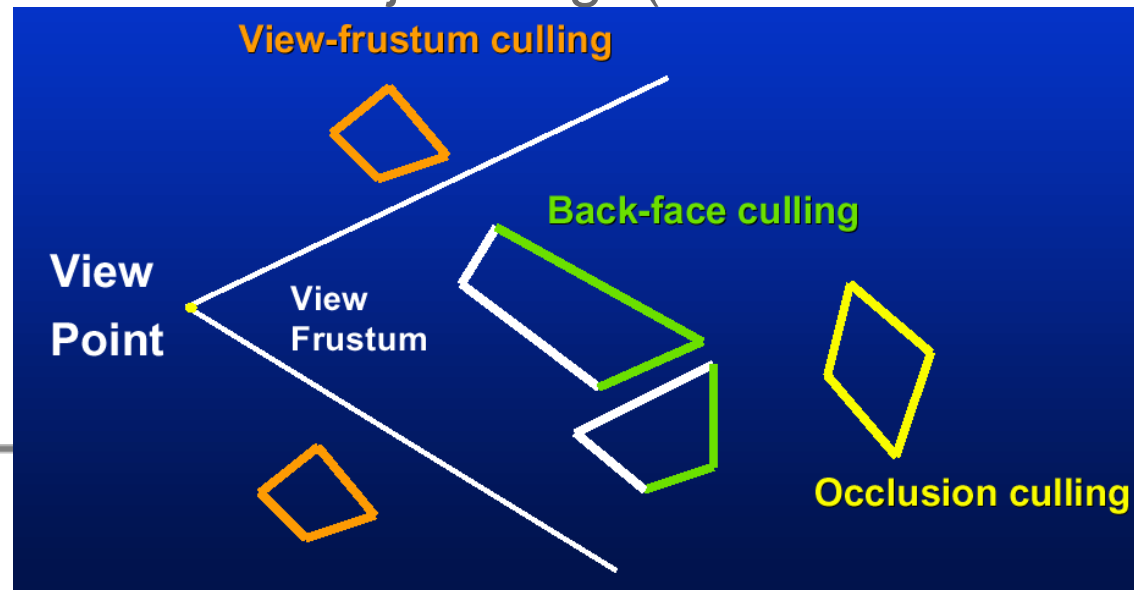
**Relativ einfacher lösbar durch Heuristiken**

**Nicht verdeckt  $\neq$  sichtbar!**

## Unterschiedliche Heuristiken für Verdeckung

Nicht sichtbar, wenn:

- Wenn **Normale nach hinten** zeigt, sehen wir Rückseite (Backface-Culling)
- Wenn Objekt **außerhalb des Blickfeldes** liegt (View-Frustum-Culling)
- Wenn Objekt **hinter anderem** Objekt liegt (Occlusion-Culling)



### Unterschiedliche Heuristiken für Verdeckung

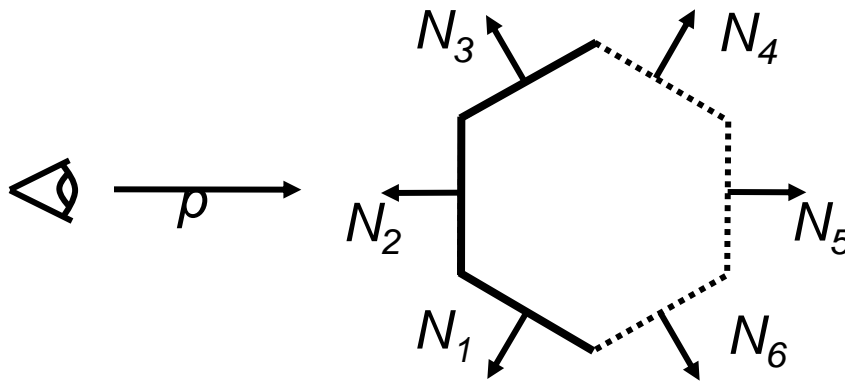
- Objekte von **vorne nach hinten** verarbeiten (Tiefensortierung)
- Verwende **Grenzhüllen/Hüllvolumen**: Wenn Hüllen nicht sichtbar sind, dann auch nicht in ihr eingeschlossene Geometrie
- **Konservativ**: Nicht exakt, aber immer auf der sicheren Seite
  - Objekte, die auf jeden Fall nicht sichtbar sind
  - Sonst darstellen
- **Quantitativ/Approximativ**: Wenn nur ein geringer Anteil sichtbar, als verdeckt behandeln (nichtkonservativ)

### Backface-Culling

- **Rückseiten** von undurchsichtigen Objekten nicht sichtbar
- **Seitenorientierung über Normalen** kodiert: konsistente Berechnung wichtig
  - Bei Inkonsistenzen Löcher in Objekten
- Wird von **OpenGL** unterstützt
- Sehr **einfache** Operation

### Backface-Culling - Klassifikation der Rückseiten

- **Normalenvektoren  $N_i$**  aller Flächen benötigt - müssen ggf. berechnet werden.
- Bei Rückseite zeigt **Normalenvektor  $N_i$  in Blickrichtung**, d.h. Skalarprodukt aus Blickrichtungsvektor  $p$  und Normale  $N_i$ :  $p \cdot N_i > 0$



$$p \cdot N_1 < 0 \quad p \cdot N_4 > 0$$

$$p \cdot N_2 < 0 \quad p \cdot N_5 > 0$$

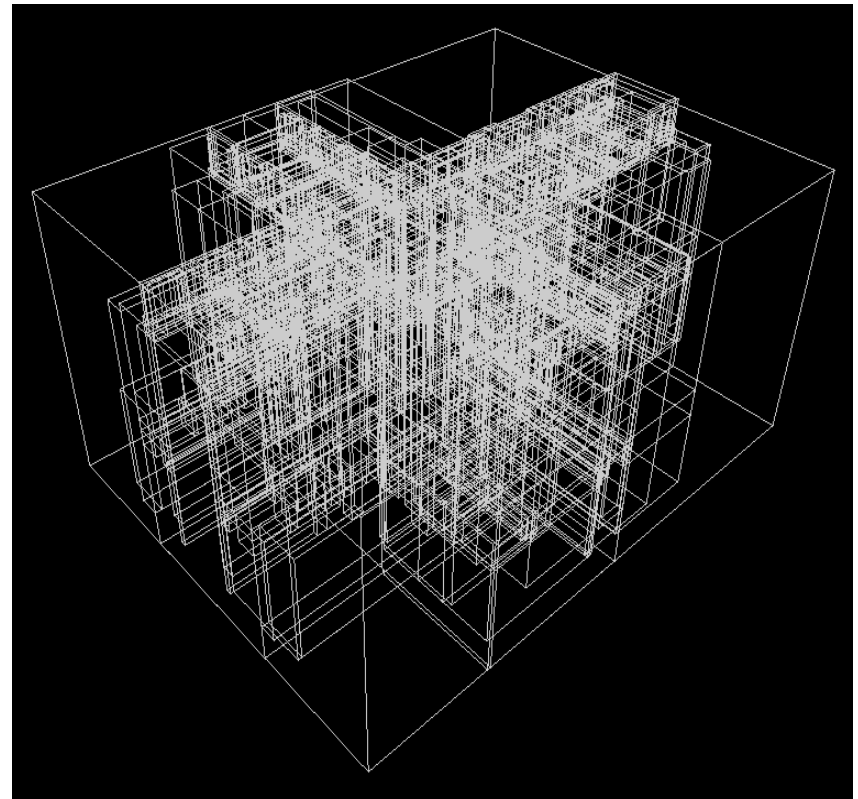
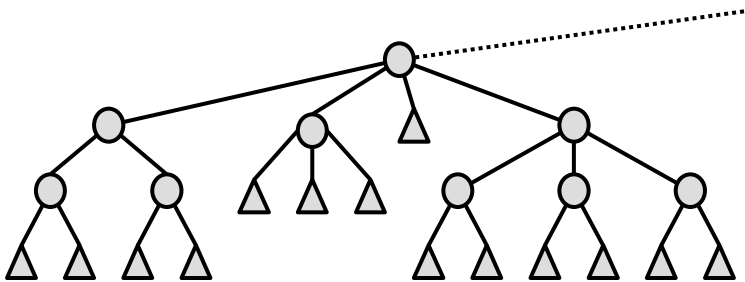
$$p \cdot N_3 < 0 \quad p \cdot N_6 > 0$$

### Backface-Culling – Eigenschaften

- Anzahl der Objektpolygone wird durch Entfernen der Rückseiten durchschnittlich **etwa um die Hälfte reduziert**
- Aufwand zur Berechnung des Skalarprodukts **sehr gering**
- Besteht die Szene nur aus **einem einzelnen konvexen** Polyeder, so löst Backface-Culling bereits das Visibilitätsproblem!
- Bei konkaven Polyedern oder Szenen, an denen mehrere Objekte beteiligt sind, kann es zu **Selbst- und/oder Fremdverdeckung** kommen.
  - Hier werden **aufwändigere Verfahren** benötigt.

## Hierarchische Organisation

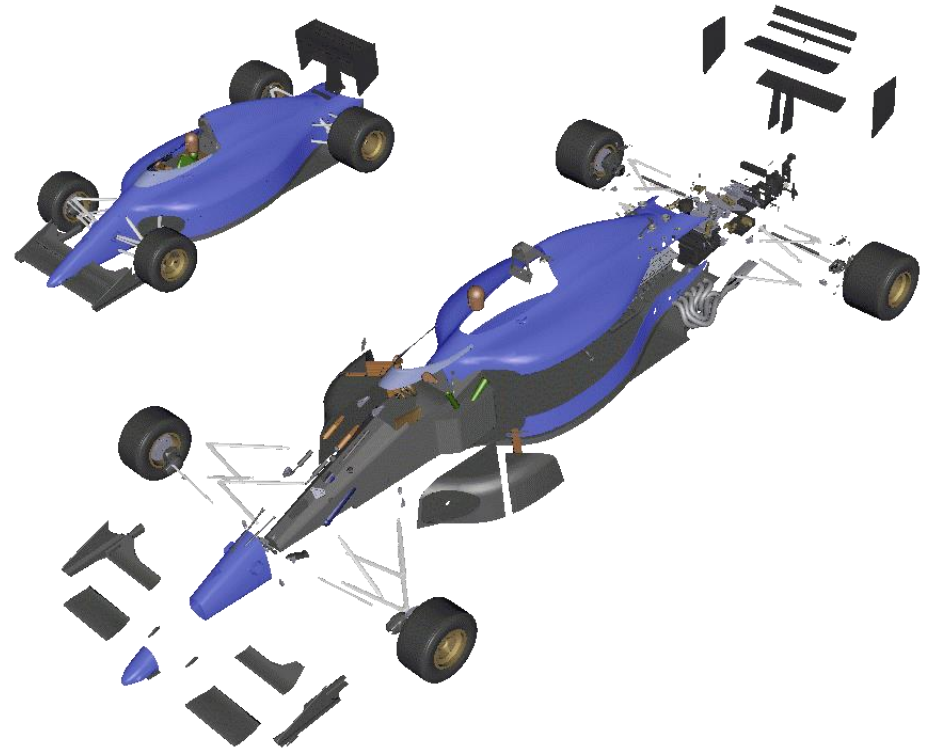
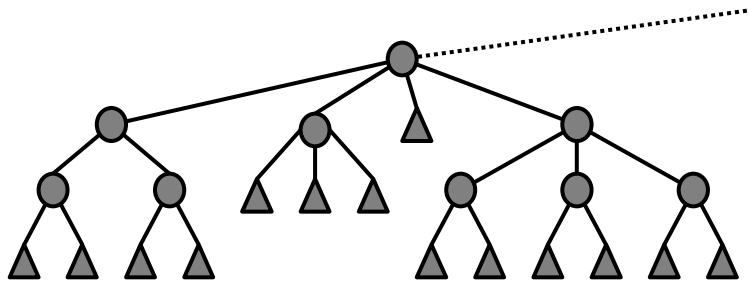
- AABB-Hierarchie (Kathedrale)



○ **Innere Knoten**

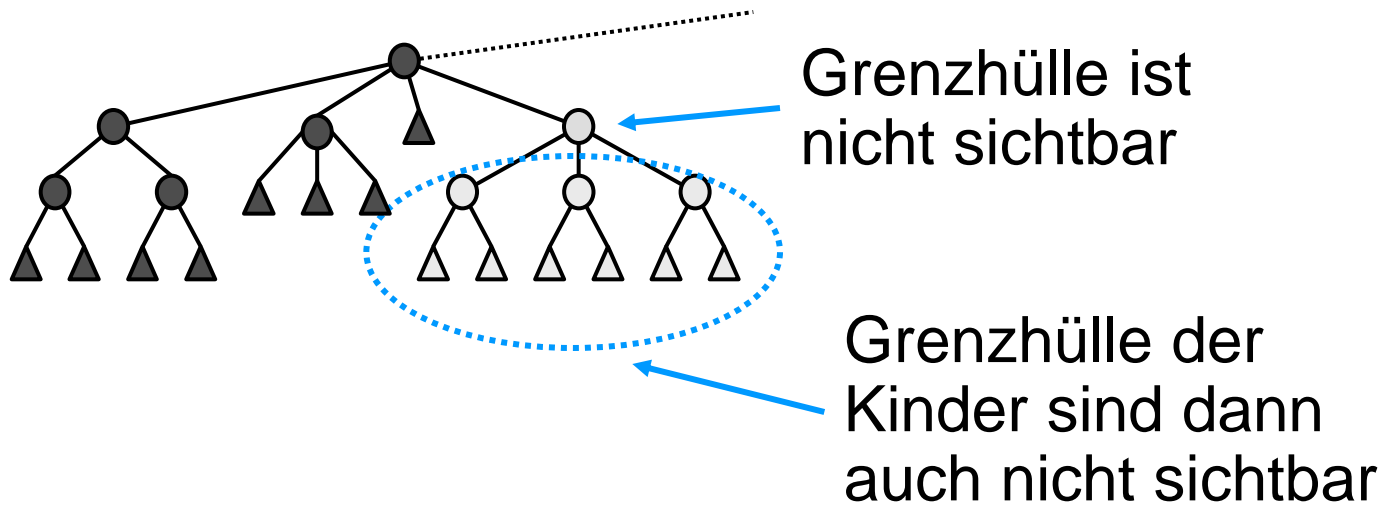
△ **Geometrieblätter**

## Baumhierarchie Beispiel



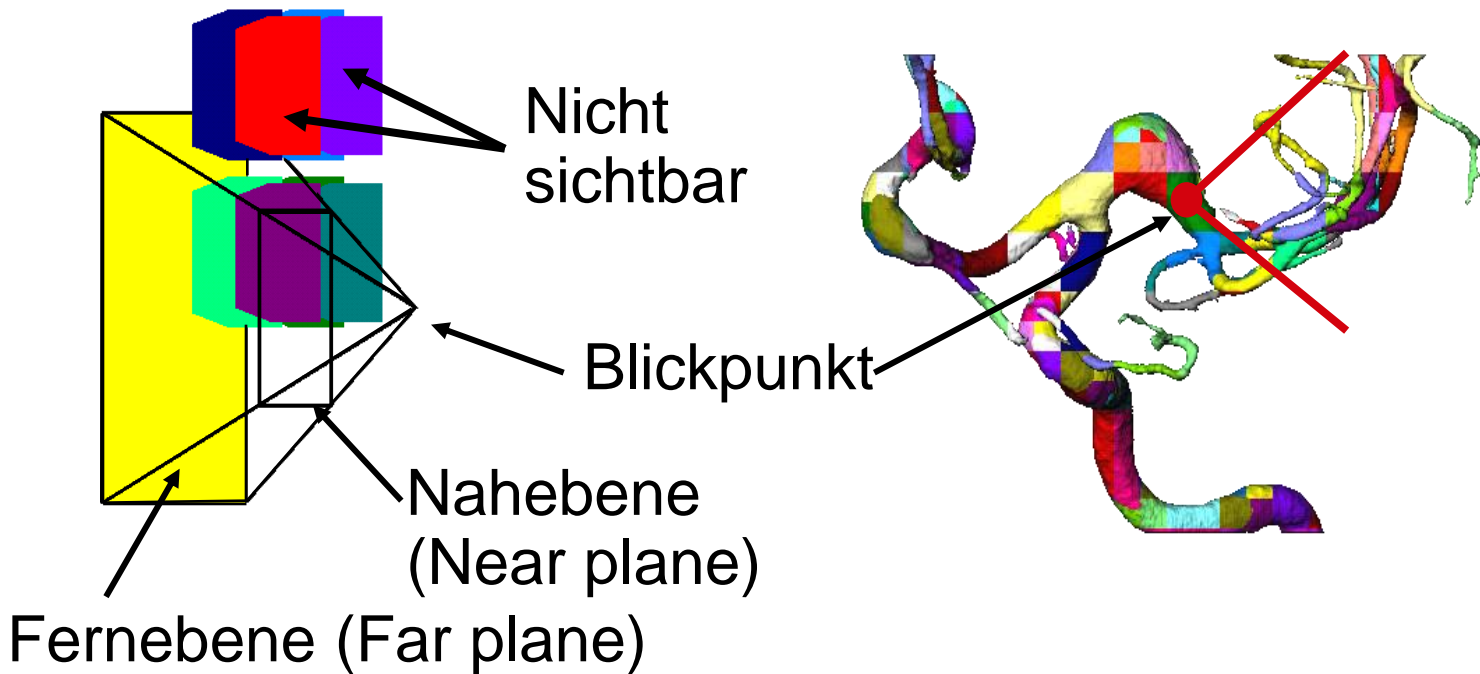


- Hierarchische Verdeckungsrechnung testet Baum **beginnend an der Wurzel**
- Die **Grenzhüllen der inneren Knoten** werden Verdeckungstests unterworfen
- Grenzhülle des inneren Knoten **umhüllen** alle Grenzhüllen der Kinderknoten
- **Abhängig** von diesem Test werden deren **Kinder entfernt, traversiert** oder **dargestellt**



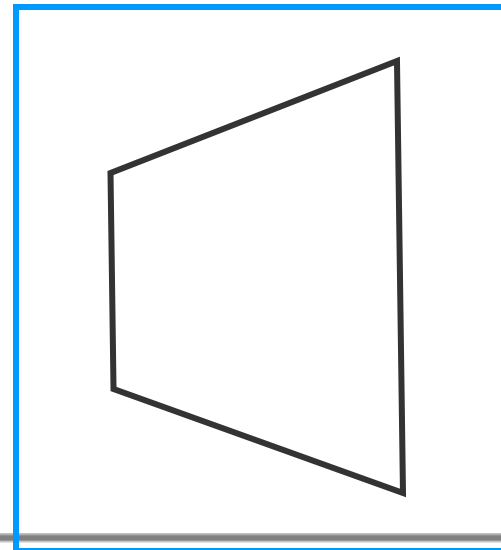
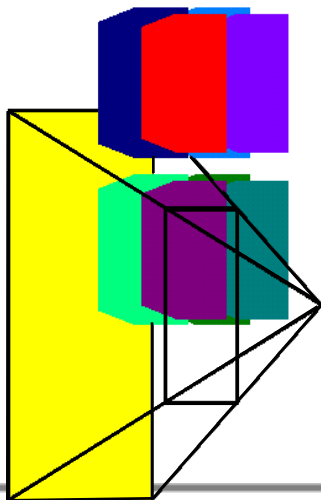
## Blickfeldtest (View-Frustum-Culling)

- Liegt Grenzhülle im Sichtvolumen?



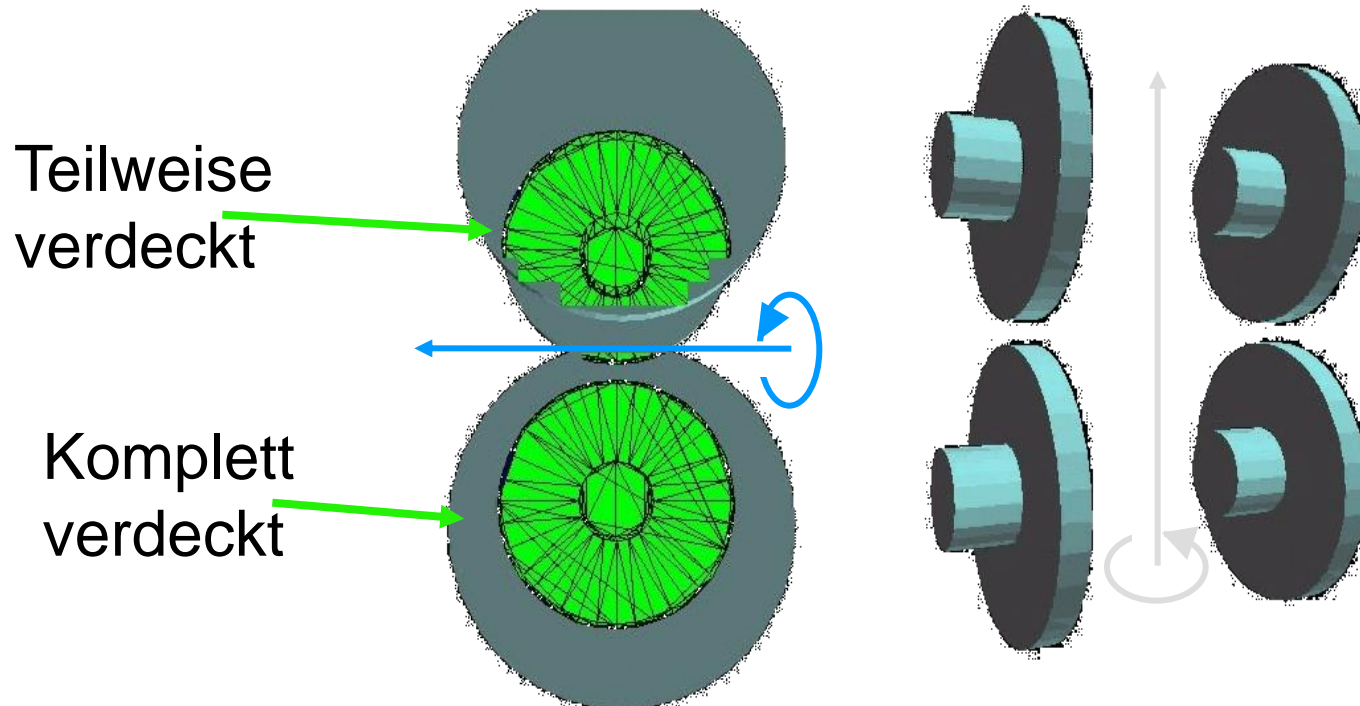
## Blickfeldtest (Viewfrustum-Culling)

- **Schneide** Grenzhüllen mit Sichtvolumen/Frustum
- Einfach nach **perspektivischer** Transformation (Einheitswürfel)
- Sonderfall: Grenzhülle **umfasst** Sichtvolumen
- Hierarchischer oder linearer Test



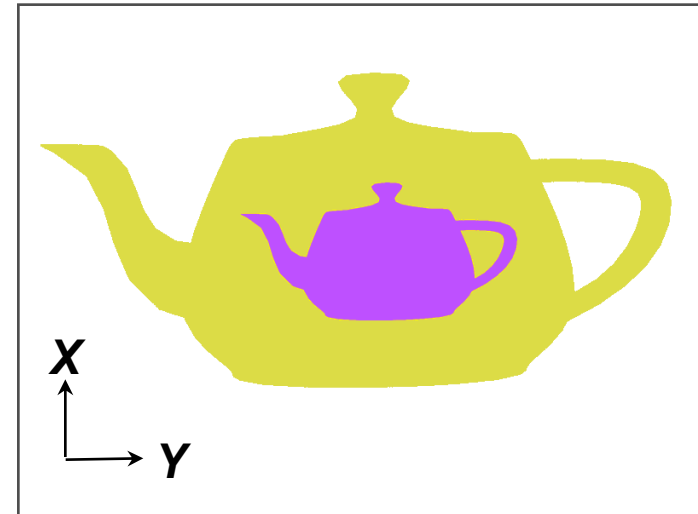
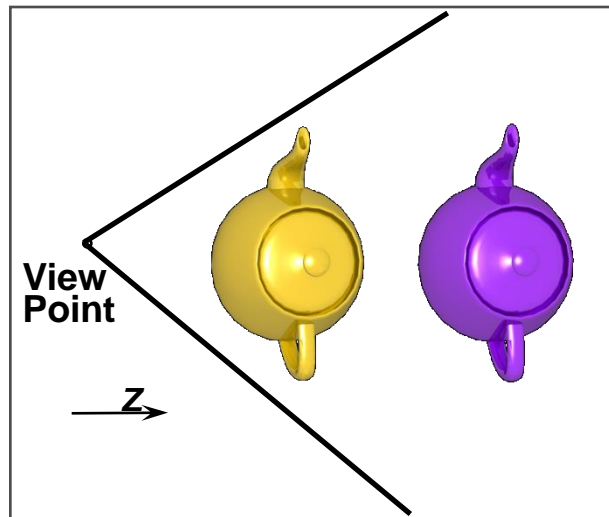
## Verdeckungstest (Occlusion-Culling)

- Ist Geometrie von Geometrie verdeckt?



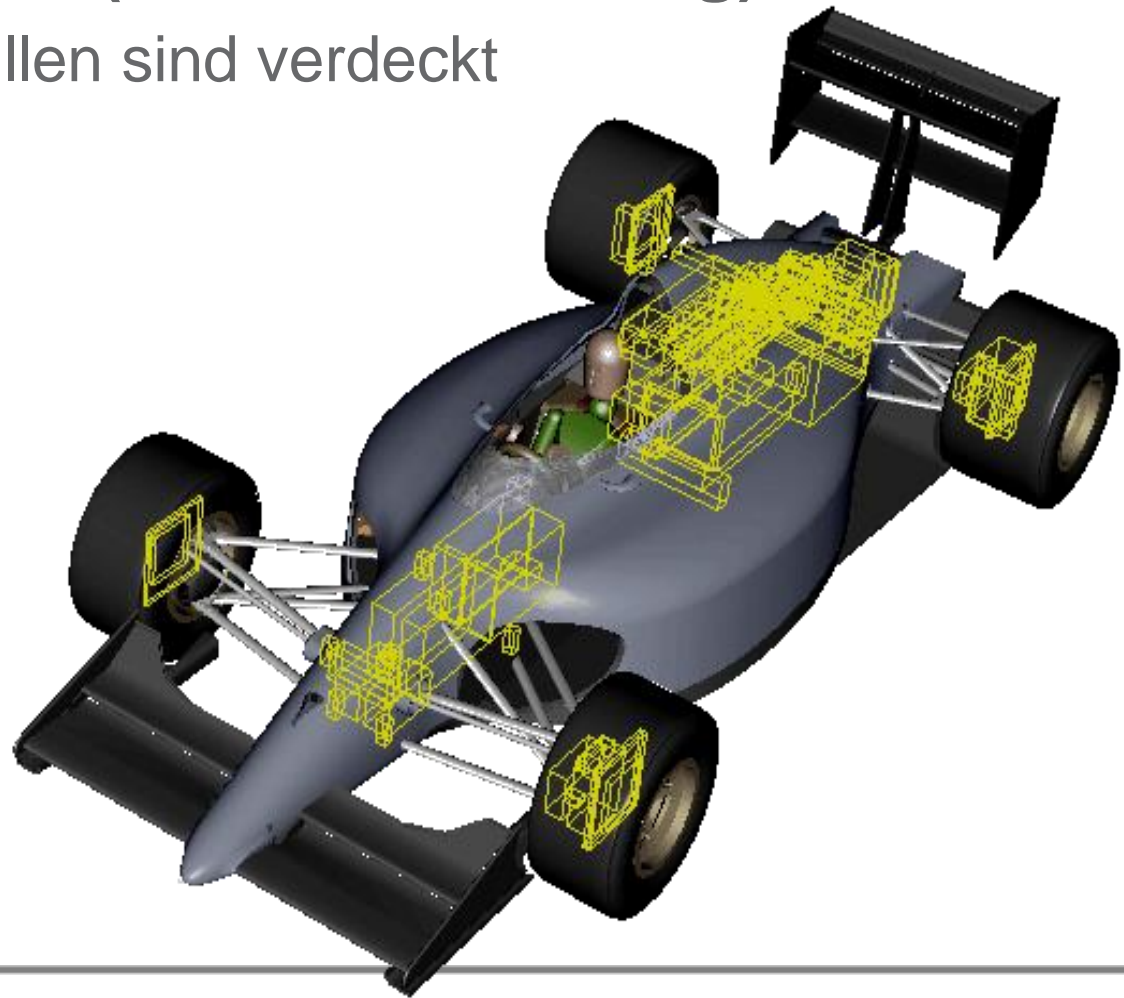
## Verdeckungstest (Occlusion-Culling)

- Ist Geometrie von Geometrie verdeckt?



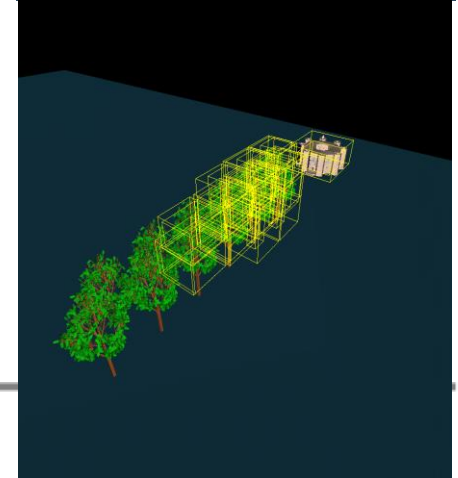
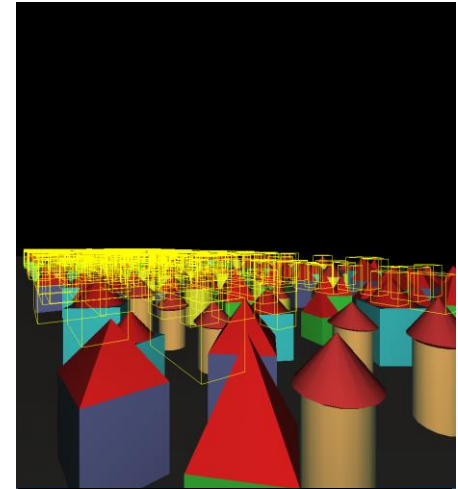
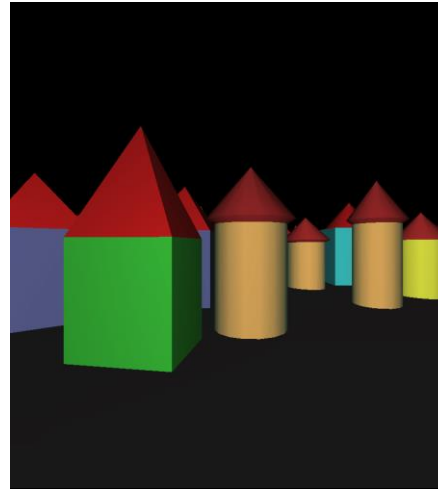
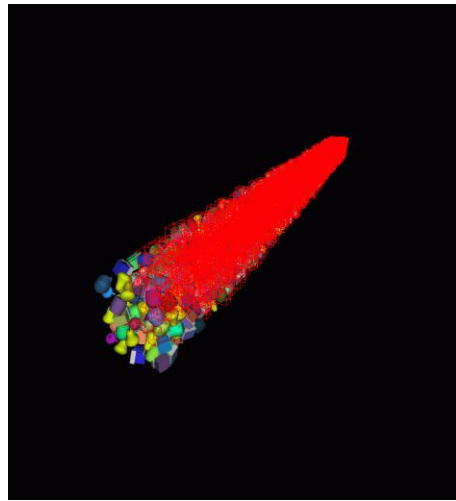
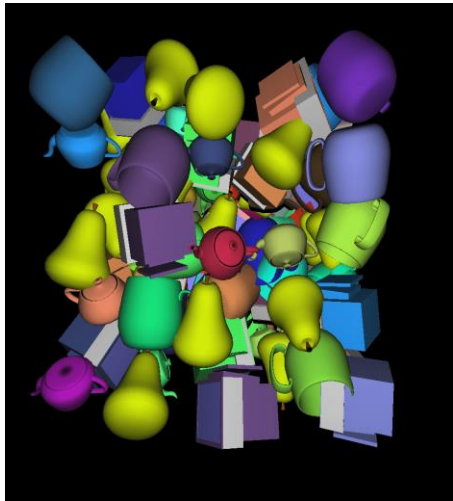
### Verdeckungstest (Occlusion-Culling)

- Gelbe Grenzhüllen sind verdeckt



## Verdeckungstest (Occlusion-Culling)

- Gelbe/rote Grenzhüllen sind verdeckt





## Verdeckungstest (Occlusion-Culling)

- Wie wird **Verdeckung erkannt**?
- **Wo ändert** sich etwas, wenn man Objekt rendern würde.
- **Objekt**raum und **Bildraum**verfahren
  - Hierarchical Z-Buffer (Greene 1993)
  - Hierarchical Occlusion Maps (Zhang 1997)
  - Virtual Occlusion Buffer (Bartz 1999)
- Für allgemeines OC sind **Softwareverfahren zu teuer**
- 1998: Einführung HP OpenGL Extension **Occlusion-Flag** (fx4)
- 2001: NVIDIA OpenGL Extension **Occlusion-Query** (NV 20)
- 2003: Occlusion-Queries in OpenGL 1.5

### Verdeckungstest (Occlusion-Culling)

#### Hardware-Tests in OpenGL (u.a.)

- Occlusion-Flag: **Binäre** Antwort, ob etwas sichtbar wird.
- Occlusion-Queries: **Quantitative** Antwort (wieviel)
- **Stop-and-Wait**-Paradigma
  - Pro Frame, pro Objekt:
    - Teste Hüllvolumen
    - Warte Occlusion-Antwort ab
    - Wenn sichtbar, rendere assoziierte Geometrie
    - Sonst entferne Objekt (culling)
  - Warten (Pipeline-Flush) führt zu Pipeline-Stall

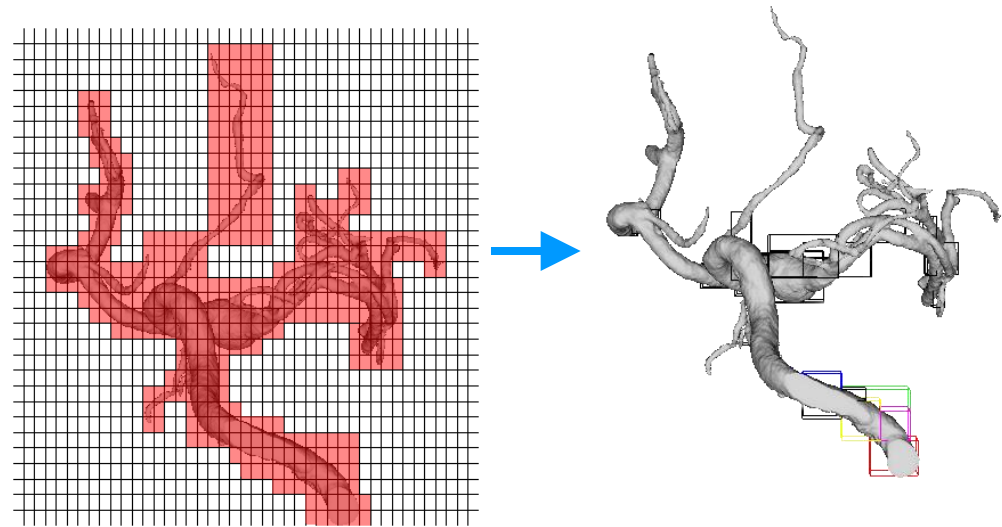
### Verdeckungstest (Occlusion-Culling)

#### Hardware-Tests in OpenGL (u.a.)

- **Stop-and-Wait**-Paradigma
  - Occlusion-Flag: **Binäre** Antwort ob etwas sichtbar wird
  - Occlusion-Queries: **Quantitative** Antwort (wieviel)
- Multiple Queries: Wartet nicht auf **Zwischenergebnisse**
  - **Gebündelte** Queries
  - Kein Pipeline-Stall
  - Nutzt aber auch **keine Zwischenergebnisse** aus
  - Leider: Gesparte Stalls viel billiger als zuviel gerenderte Geometrie: 1/10, 1/20
  - Also: **Vorsortierung** in gegenseitig unabhängige Objekte (sich nicht gegenseitig verdeckend)

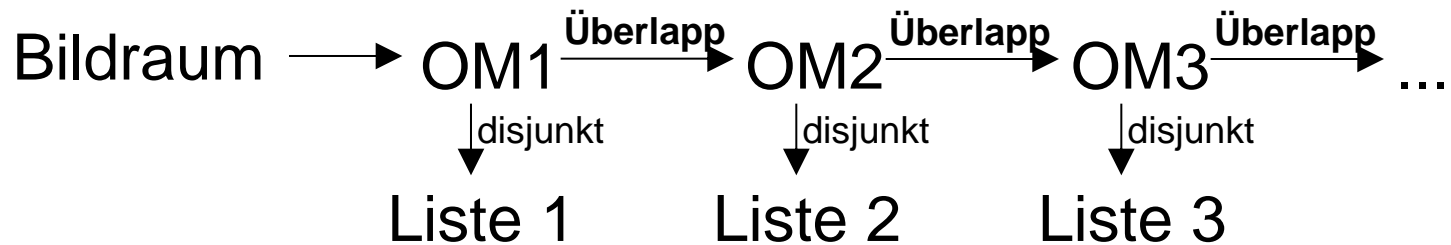
## Verdeckungstest (Occlusion-Culling)

- Vorsortierung in gegenseitig unabhängige Objekte
- Vorsortierung mit **OccupancyMap** Hierarchie [Staneker 2003]: Nutze Kohärenz und **reduziere Falsch-Positive**
- Günstiger Vorab-**Overlap**-Test
- Spart auch **redundante** Occlusion-Queries



## Verdeckungstest (Occlusion-Culling)

- Vorsortierung in **nicht überlappende** Objekte
- Nutze **mehrere** OccupancyMaps (OM)



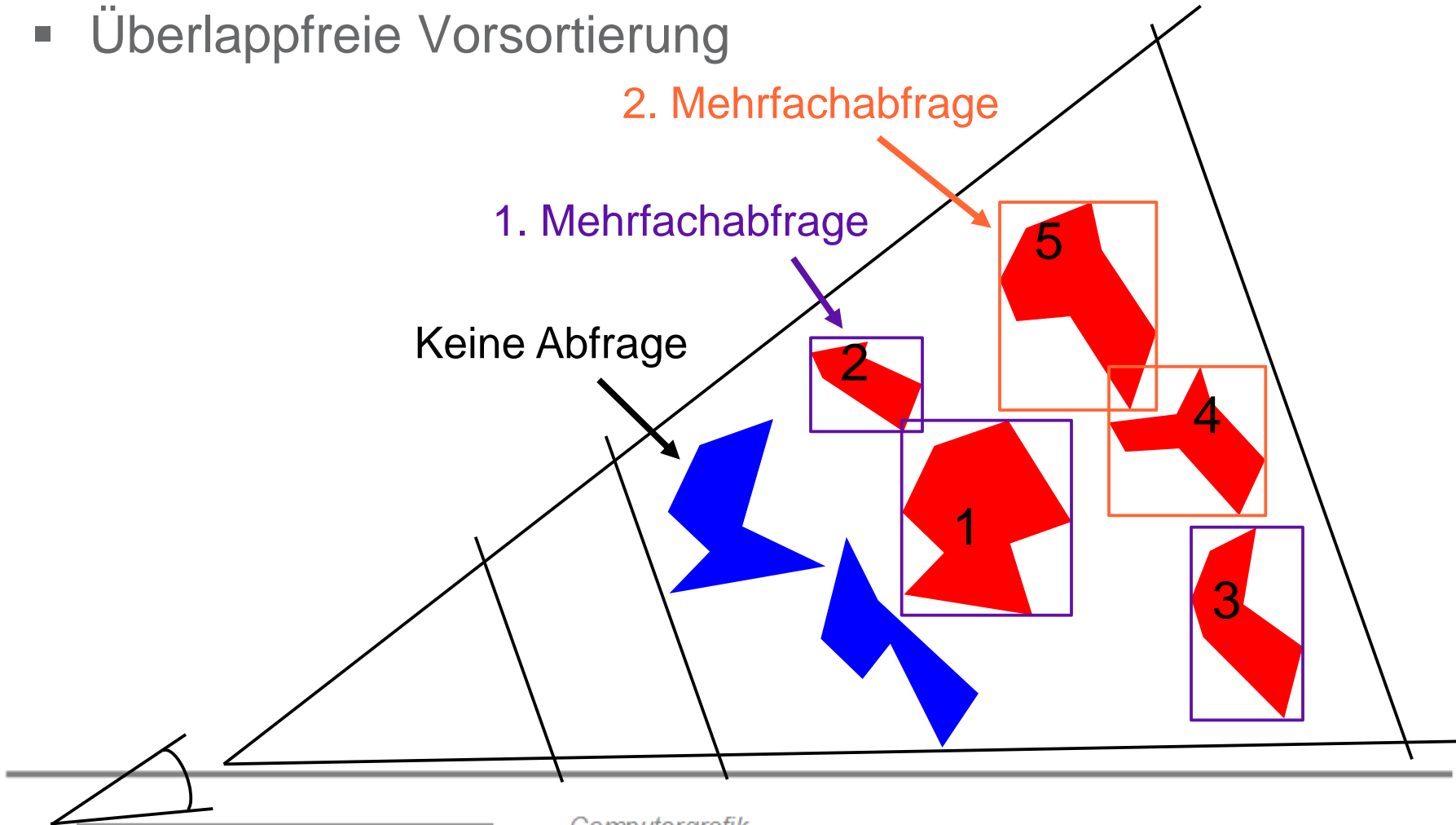
## Verdeckungstest (Occlusion-Culling)

- Überlappungsfreie Vorsortierung

2. Mehrfachabfrage

1. Mehrfachabfrage

Keine Abfrage



# 5.2 Verdeckungsrechnung

Occupancy Map für  
Gesamtfenster



Occupancy Map für  
1. Mehrfachabfrage



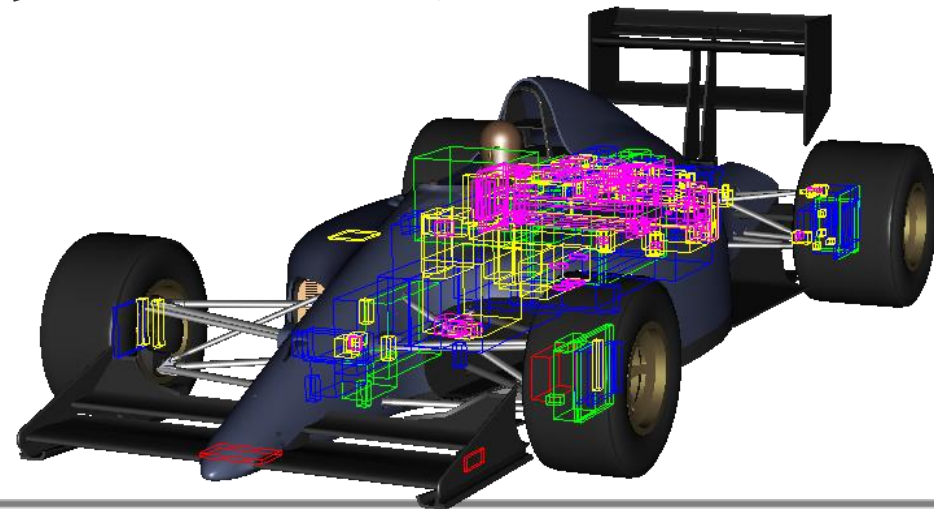
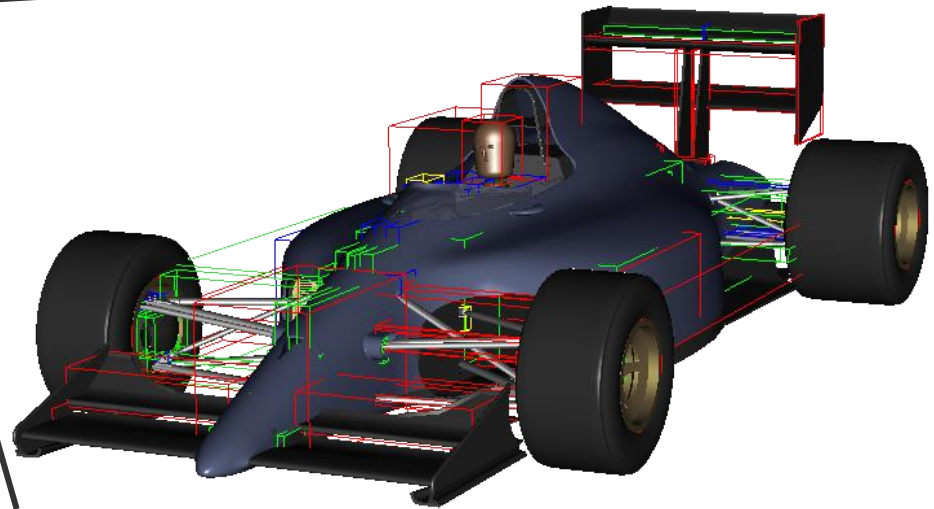
Occupancy Map für  
2. Mehrfachabfrage



Occupancy Map für  
3. Mehrfachabfrage

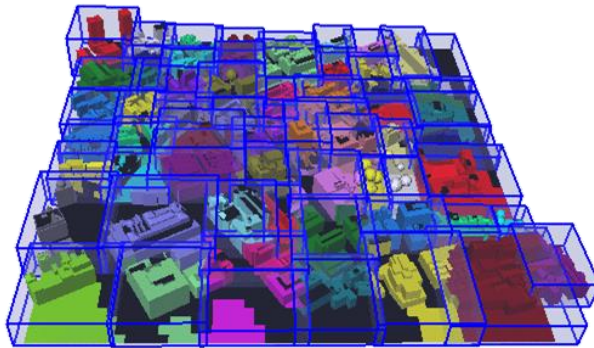


Occupancy Map für  
4. Mehrfachabfrage

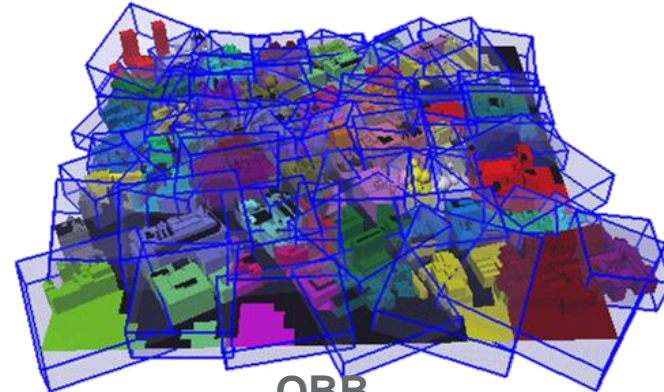


## Optimiere Hüllvolumen

- Reduziere **Falsch-Positive** [Bartz 2001]



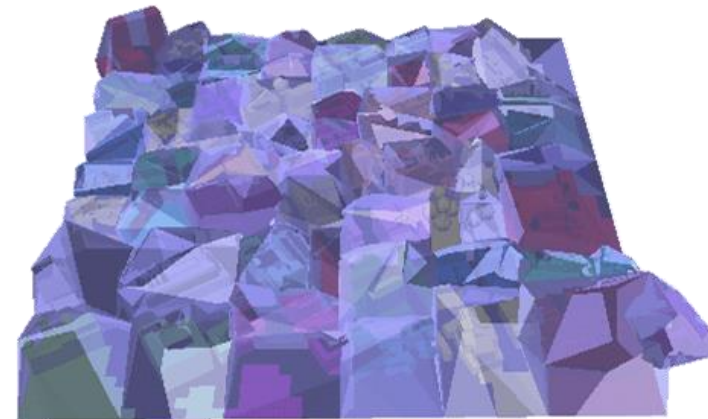
AABB



OBB



Bounding Spheres

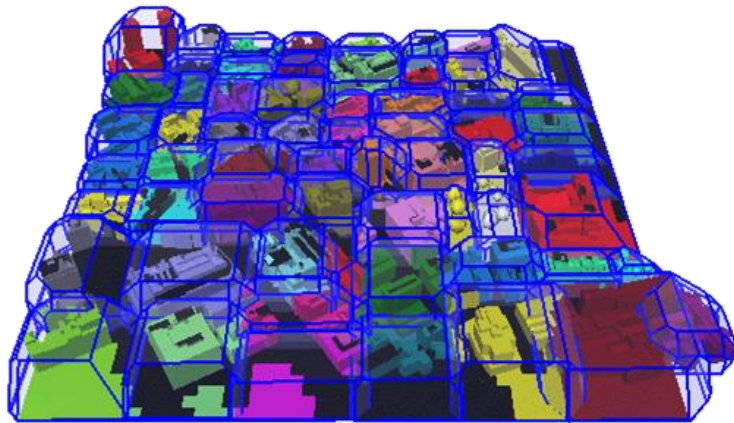


Konvexe Hüllen

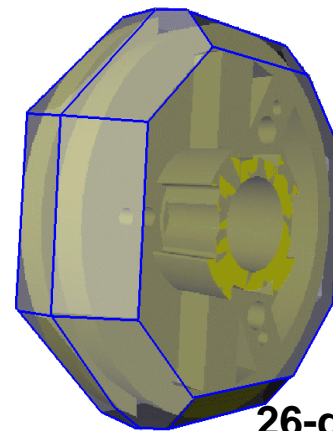
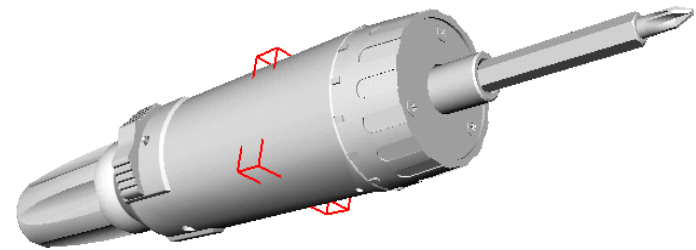


## Optimiere Hüllvolumen

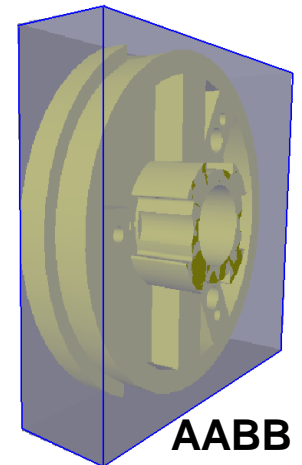
- Reduziere **Falsch-Positive** [Bartz 2001]



k-DOPs



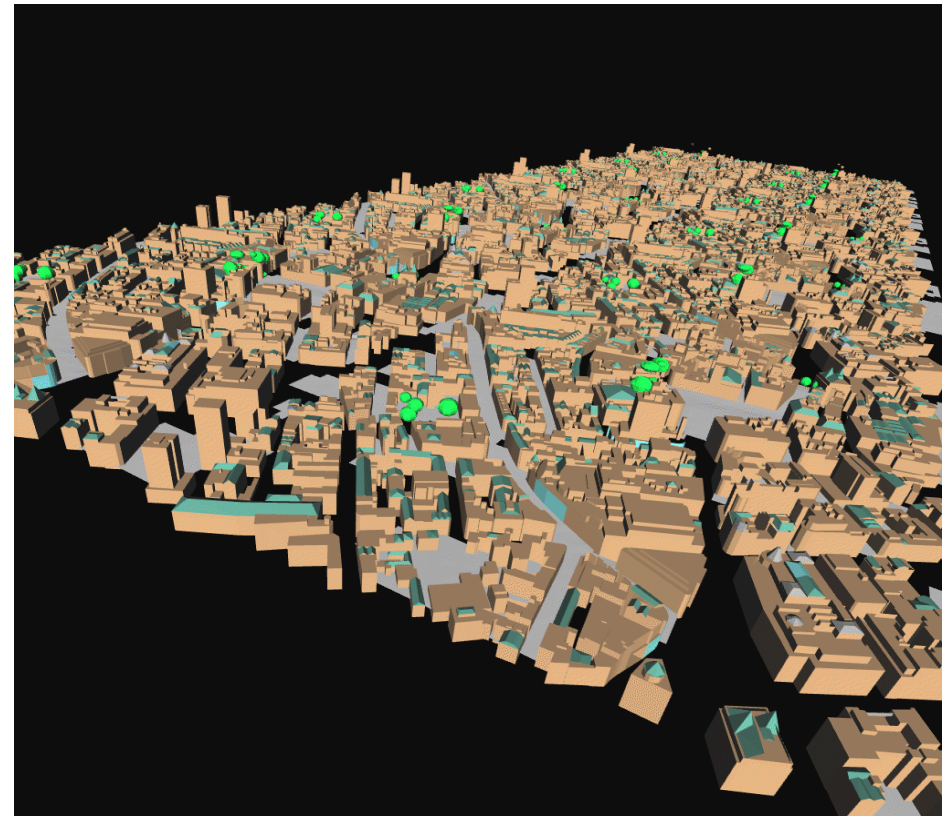
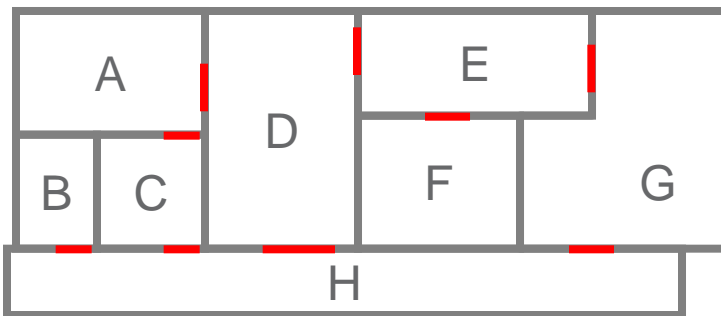
26-dop



AABB

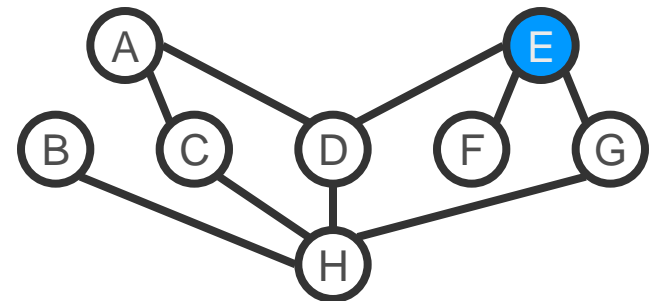
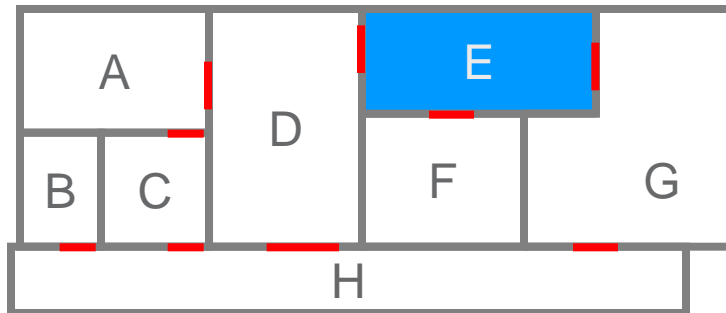
## Verdeckungstest (Occlusion-Culling)

- Stadtszenen bieten viel Verdeckung
- Häuser haben feste **Zimmer und Öffnungen:** Cells and Portals
- Sichtbarkeit durch Portale bestimmt: PVS



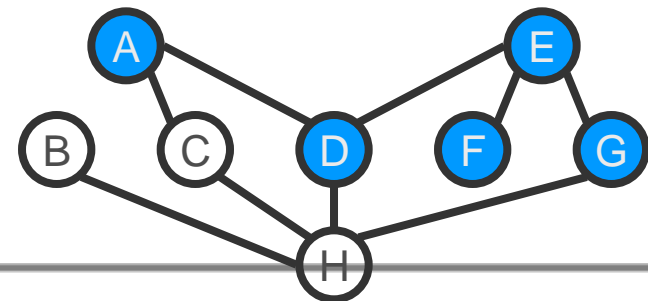
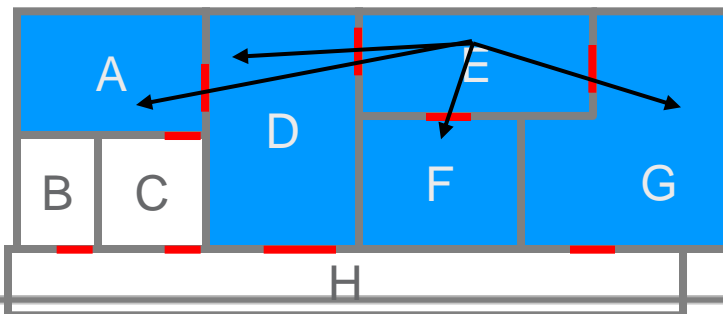
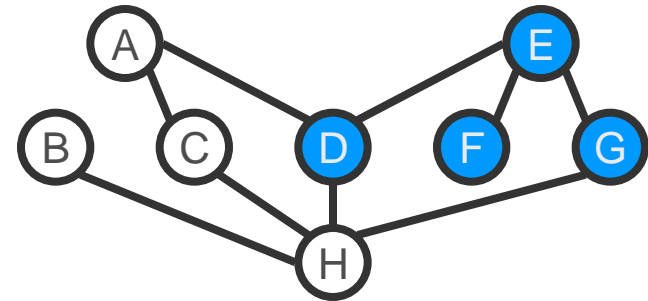
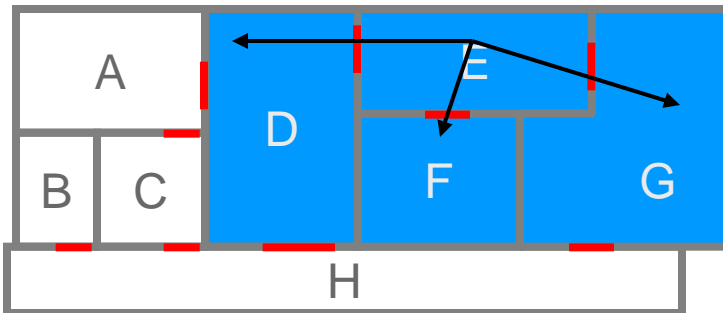
## Verdeckungstest (Occlusion-Culling)

- Zellen und Portale [Teller 1992, Luebke 1995]
- Berechne **Nachbarschaftsgraph** zwischen Zellen (durch Portale)
- Zelle ist nur dann sichtbar, wenn sie durch (eine Folge von) Portale(n) sichtbar ist: Sichtlinie



## Verdeckungstest (Occlusion-Culling)

- Zellen und Portale
- Speicher für jede Zelle **alle möglicherweise sichtbaren** Zellen
- **Potentially Visible Sets** (PVS)
- Sichtbarkeit für alle Standpunkte: **AbstractGraph**



- Computergraphik, Universität Leipzig  
(Prof. D. Bartz)
- Graphische Datenverarbeitung I, Universität Tübingen  
(Prof. W. Straßer)
- Graphische Datenverarbeitung I, TU Darmstadt  
(Prof. M. Alexa)